

Міністерство освіти і науки України
Національний університет водного господарства
та природокористування

Кафедра автомобільних доріг, основ і фундаментів

03-03-194М

МЕТОДИЧНІ ВКАЗІВКИ
до виконання курсової роботи та практичних занять
з дисципліни «**Основи та фундаменти з курсовою роботою**»
(розділ **«Проектування фундаментів»**)
для здобувачів вищої освіти першого (бакалаврського) рівня
за освітньою програмою «Будівництво та цивільна інженерія»,
спеціальності 192 «Будівництво та цивільна інженерія»
денної та заочної форм навчання

Рекомендовано науково-методичною
радою з якості ННІБА
Протокол № 4 від 21 січня 2025 р.

Рівне – 2025

Методичні вказівки до виконання курсової роботи та практичних занять з дисципліни «**Основи та фундаменти з курсовою роботою**» (розділ «**Проектування фундаментів**») для здобувачів вищої освіти першого (бакалаврського) рівня за освітньою програмою «Будівництво та цивільна інженерія», спеціальності 192 «Будівництво та цивільна інженерія» dennoi та заочної форм навчання. [Електронне видання] / Фурсович М. О., Супрунюк В. В., Зятюк Ю. Ю., Павлюк А. П. – Рівне : НУВГП, 2025. – 72 с.

Укладачі: Фурсович М. О., канд. техн. наук, доцент; Супрунюк В. В., канд. техн. наук, доцент; Зятюк Ю. Ю., канд. техн. наук, доцент; Павлюк А. П., канд. техн. наук, старший викладач.

Відповідальний за випуск: Кузло М. Т., д.т.н., професор, завідувач кафедри автомобільних доріг, основ і фундаментів.

Керівник освітньої програми: Караван В. В., к.т.н., доцент кафедри промислового, цивільного будівництва та інженерних споруд.

Попередня версія методичних вказівок 03-03-106M.

ЗМІСТ

	стор.
ВСТУП	2
1. ФУНДАМЕНТИ НЕГЛИБОКОГО ЗАКЛАДЕННЯ	4
1.1 Визначення глибини закладення фундаментів	4
1.2. Визначення розмірів підошви фундаментів	10
1.3. Проектування фундаментів на просідаючих ґрунтах ...	19
1.4. Визначення деформацій фундаментів в	29
2. ПАЛЬОВІ ФУНДАМЕНТИ	
2.1. Проектування пальових фундаментів ...	36
2.2. Визначення несучої здатності паль на дію вертикальних навантажень ...	41
2.3. Пальові фундаменти в просідаючих ґрунтах	45
2.4. Підбір кількості паль ...	51
2.5. Підбір дизель-молота ...	55

© М. О. Фурсович, В. В. Супрунюк,
Ю. Ю. Зятюк, А. П. Павлюк, 2025
© НУВГП, 2025

ВСТУП

Згідно ДБН В.2.1-10-:2018:

фундамент – підземна частина споруди, яка сприймає навантаження від несучих конструкцій і передає їх на основу, складену природними ґрунтами (природну) чи штучними ґрунтами (штучну).

фундамент глибокого закладення – фундамент, який пропрізає шари низької міцності чи сильно стисливі і спирається на ґрунти основи, які забезпечують вимоги до несучої здатності і деформативності фундаменту і споруди в цілому.

фундамент заглиблений – фундамент споруди з більш ніж одним підземним поверхом і навантаження від якого передаються на основу через підошву і бічну поверхню.

фундамент неглибокого закладення – фундамент споруди заглиблений не більш ніж на один поверх, навантаження від якого передаються на основу через підошву.

Основною вимогою при проектуванні основ фундаментів неглибокого закладення, тобто при визначенні розмірів підошви фундаментів, є обмеження нерівномірних осідань надземних конструкцій. Нерівномірні осідання можуть бути причиною руйнування несучих конструкцій більшості споруд. Крім того, деформації споруд інколи є недопустимими з технологічних причин та через порушення архітектурного вигляду будівлі. В зв'язку з цим розрахунок основ фундаментів неглибокого закладення в першу чергу ведеться за І-ю групою граничних станів, тобто за деформаціями. Інколи може відбутися повна втрата несучої здатності ґрунту під фундаментами. В таких випадках основи фундаментів неглибокого закладення додатково розраховуються за ІІ-ю групою граничних станів, тобто за несучою здатністю.

Як правило, несуча здатність пальтових фундаментів вичерpuється при незначних деформаціях. Тому розрахунок таких фундаментів за несучою здатністю є основним, а за деформаціями - перевірочним.

В цих методичних вказівках розглядаються питання, які стосуються проектування фундаментів неглибокого закладення та пальтових фундаментів.

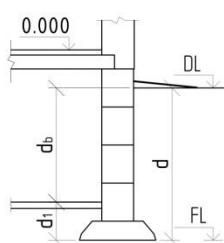
1. ФУНДАМЕНТИ НЕГЛИБОКОГО ЗАКЛАДЕННЯ

Фундаменти неглибокого закладення та їх основи проектиують у такій послідовності:

1. Вивчають конструктивну схему будівлі і визначають навантаження на фундаменти.
2. Аналізують ґрунтові умови будівельного майданчика.
3. Вибирають тип фундаменту (стрічковий, стовпчастий, плитний).
4. Задаються глибиною закладення фундаменту.
5. Визначають розміри підошви фундаменту.
6. За необхідністю, намічають заходи по ущільненню або закріпленню слабких чи структурно-нестійких ґрунтів, чи їх заміні на дійними ґрунтами.
7. За необхідністю, виконують розрахунки основ за несучою здатністю.
9. Визначають сумісні деформації основ і фундаментів.
8. Проектують і розраховують фундамент як конструкцію.

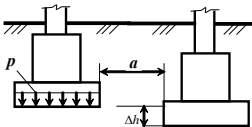
1.1 Визначення глибини закладення фундаментів

Глибина закладення фундаменту d (рис. 1) - це відстань по вертикалі від його підошви (лінія FL) до рівня планування поверхні ґрунту (лінія DL). Глибина закладення приймається з урахуванням таких основних факторів: 1) призначення та конструктивних особливостей будівлі (наявність підземних поверхів і комунікацій, підвала тощо); 2) інженерно-геологічних умов будівельної ділянки (інколи буває більш доцільним прорізати фундаментами непридатні ґрунти і передавати навантаження на підстилаючі надійні основи – заглиблення фундаменту в несучий шар рекомендується приймати не менше 0,3м);



Rис. 1. Конструкція фундаменту.

3) гідрогеологічних умов будмайданчика (при високому рівні ґрунтових вод необхідно влаштовувати гідроізоляцію підвалних приміщень, відмовлятися від них, або виконувати підсипку території для запобігання будівництва під водою); 4) існуючого та проектного рельєфів території, яка забудовується (при плануванні ґрунту підсипкою фундаменти найчастіше опирають на природні основи); 5) глибини закладення фундаментів суміжних об'єктів та прокладання інженерних комунікацій (фундаменти споруди або її відсіку повинні закладатись на одному рівні. За необхідності закладення сусідніх фундаментів на різних позначках їх допустиму різницю Δh (рис. 2) визначають



Rис. 2. Схема до визначення Δh .

виходячи з умови

$$\Delta h \leq a(\operatorname{tg} \varphi_I + c_I / p_I), \quad (1)$$

де a - відстань між внутрішніми гранями фундаментів; φ_I і c_I - розрахункові значення відповідно кута внутрішнього тертя і питомого зчеплення ґрунту; p - середній тиск під підошвою вищерозміщеного фундаменту від розрахункових навантажень (для розрахунку основи за несучою здатністю).

6) глибини сезонного промерзання ґрунтів (глибину закладення фундаментів визначають за табл. I залежно від виду ґрунтів та глибини розташування підземних вод).

Таблиця I (табл. Г.2 ДБН В.2.1-10-2009)

Глибина закладення фундаментів залежно від рівня підземних вод

Грунти під підошвою фундаменту	Глибина закладення фундаментів у залежності від глибини розташування рівня підземних вод d_w , м, при	
	$d_w \leq d_f + 2$	$d_w > d_f + 2$
Скельні, великоуламкові з піщаним заповнювачем, піски гравіюваті, крупні і середньої крупності	Не залежить від d_f	Не залежить від d_f
Піски дрібні і пилуваті	Не менше d_f	Те саме
Супісکи з показником текучості $I_L < 0$	Те саме	»
Те саме, при $I_L \geq 0$	»	Не менше d_f
Суглинки, глини, а також великоуламкові ґрунти з глинистим заповнювачем при показнику текучості ґрунту чи заповнювача $I_L \geq 0,25$	»	Те саме
Те саме, при $I_L < 0,25$	»	Не менше $0,5 d_f$

У випадках, коли глибина закладення фундаментів не залежить від розрахункової глибини промерзання d_f відповідні ґрунти, зазначені в даній таблиці, повинні залягати до глибини не менше нормативної глибини промерзання d_{f_n} .

Розрахункова глибина промерзання ґрунту визначається за формулою

$$d_f = k_h \cdot d_{f_n}, \quad (2)$$

де k_h - коефіцієнт, що враховує вплив теплового режиму споруди, приймають: для зовнішніх фундаментів опалюваних будівель - за таблицею 2; для зовнішніх і внутрішніх фундаментів неопалюваних будівель, а також при зведенні будівлі в зимовий період з негативними температурами - $k_h = 1,1$. (коefіцієнт k_h слід приймати рівним 1,1 для всіх типів будівель - цим враховується ймовірність припинення будівництва на зимовий період).

Таблиця 2 (табл. Г.1 ДБН В.2.1-10-2009)
Коефіцієнт k_h

Особливості споруди	Коефіцієнт k_h при розрахунковій середньодобової температурі повітря в приміщенні, що примикає до зовнішніх фундаментів, °C				
	0	5	10	15	20 і більше
Без підвала з підлогами, що влаштовують:					
<i>по ґрунту</i>	0,9	0,8	0,7	0,6	0,5
<i>на лагах по ґрунту</i>	1,0	0,9	0,8	0,7	0,6
<i>по утепленому цокольному перекриттю</i>	1,0	1,0	0,9	0,8	0,7
З підвалом чи технічним підпіллям	0,8	0,7	0,6	0,5	0,4

1. Наведені в таблиці 2 значення коефіцієнта k_h відносяться до фундаментів, у яких відстань від зовнішньої грані стіни до краю фундаменту $a_f < 0,5$ м; якщо $a_f \geq 1,5$ м, значення коефіцієнта k_h підвищуються на 0,1, але не більше ніж до значення $k_h = 1$; при проміжному розмірі a_f значення коефіцієнта k_h визначають інтерполяцією. 2. До приміщень, що примикають до зовнішніх фундаментів, відносяться підвали і технічні підпілля, а за їх відсутності - приміщення першого поверху. 3. При проміжних значеннях температури повітря коефіцієнт k_h приймають з округленням до найближчого меншого значення, зазначеного в таблиці.

d_{fn} - нормативна глибина промерзання ґрунту, яка визначається за формулою

$$d_{fn} = d_0 \sqrt{M_t}, \quad (3)$$

де M_t - безрозмірний коефіцієнт, що чисельно дорівнює сумі абсолютнох значень середньомісячних негативних температур за зиму в даному районі (визначають згідно з ДСТУ-Н Б В.1.1-27:2010 – див. табл. 3, а за відсутності даних для конкретного району будівництва – за результатами спостережень гідрометеорологічної станції, що знаходиться в аналогічних умовах з районом будівництва);

d_0 - величина, що дорівнює, м, для: суглинків і глин – **0,23**; супісків, пісків пилуватих та дрібних – **0,28**; пісків гравіюватих, крупних та середньої крупності – **0,30**; великоуламкових ґрунтів – **0,34**. Значення d_0 для ґрунтів неоднорідного складу визначається як середньозважене в межах глибини промерзання.

Таблиця 3 (витяг з табл.2 ДСТУ-Н Б В.1.1-27:2010)

Абсолютне значення середньомісячних від'ємних температур за зиму по місяцях

Область, місто	зимові місяці			Область, місто	зимові місяці			Область, місто	зимові місяці		
	XII	I	II		XII	I	II		XII	I	II
Вінницька область	-3,4	-6	-5,3	Київська область	-3,5	-5,9	-5,2	Рівненська область	-2,6	-5,4	-4,4
Вінниця	-3,4	-6	-5,3	Київ	-3,5	-5,9	-5,2	Рівне	-2,6	-5,4	-4,4
Волинська область	-2,1	-4,9	-3,9	Кіровоградська область	-3,3	-5,6	-5,1	Сумська область	-5,4	-7,9	-7,6
Луцьк	-2,1	-4,9	-3,9	Кіровоград	-3,3	-5,6	-5,1	Суми	-5,4	-7,9	-7,6
Луганська область	-3,8	-6,6	-6,0	АР Крим	+1,5	-1,0	-0,7	Тернопільська область	-2,8	-5,4	-4,4
Луганськ	-3,8	-6,6	-6,0	Джанкой	+0,9	-1,8	-1,3	Тернопіль	-2,8	-5,4	-4,4
Дніпропетровська область	-3,1	-5,4	-4,8	Євпаторія	+2,3	-0,1	-0,1	Харківська область	-4,8	-7,3	-6,9
Дніпропетровськ	-3,1	-5,4	-4,8	Сімферополь	+1,5	-1,0	-0,7	Харків	-4,8	-7,3	-6,9
Донецька область	-4,2	-6,6	-6,2	Феодосія	+3,2	+0,6	+0,5	Херсонська область	-0,8	-3,2	-2,6
Донецьк	-4,2	-6,6	-6,2	Ялта	+6,1	+4,0	+3,8	Херсон	-0,8	-3,2	-2,6
Житомирська область	-3,2	-5,7	-4,9	Львівська область	-2,6	-5,0	-4,2	Хмельницька область	-3,0	-5,6	-4,6
Житомир	-3,2	-5,7	-4,9	Львів	-2,6	-5,0	-4,2	Хмельницький	-3,0	-5,6	-4,6
Закарпатська облас	+0,1	-3,1	-0,7	Миколаївська область	-1,2	-3,5	-2,8	Черкаська область	-3,5	-5,8	-5,6
Ужгород	+0,1	-3,1	-0,7	Миколаїв	-1,2	-3,5	-2,8	Черкаси	-3,5	-5,8	-5,6
Запорізька облас	-2,3	-4,9	-4,2	Одеська область	+0,2	-2,5	-2,0	Чернігівська область	-4,2	-6,7	-6,2
Бердянськ	-1,2	-3,8	-3,5	Любешівка	-2,6	-5,0	-4,2	Чернігів	-4,2	-6,7	-6,2
Запоріжжя	-2,3	-4,9	-4,2	Одеса	+0,2	-2,5	-2,0	Чернівецька область	-2,4	-5,0	-3,5
Івано-Франківська облас	-2,4	-5,1	-3,7	Полтавська область	-4,5	-6,9	-6,4	Чернівці	-2,4	-5,0	-3,5
Івано-Франківськ	-2,4	-5,1	-3,7	Полтава	-4,5	-6,9	-6,4				

Приклад 1. Визначити глибину закладення стрічкових фундаментів по осі 8 та стовпчастих фундаментів на перетині осей А і 3, А і 5 будівлі, конструктивна схема якої наведена до прикладу в МВ 03-03-84М в інженерно-геологічних умовах варіанту “ХУ” (див. приклад МВ 03-03-031).

Стрічковий фундамент по осі 8. В нашому випадку

глибина закладення фундаменту, може залежати від *глибини сезонного промерзання ґрунтів та конструктивних особливостей будівлі*.

Глибина закладення фундаменту, виходячи з глибини сезонного промерзання ґрунтів. Розрахункову глибину промерзання ґрунту визначаємо за формулою (2) $d_f = k_h \cdot d_{fn}$, де

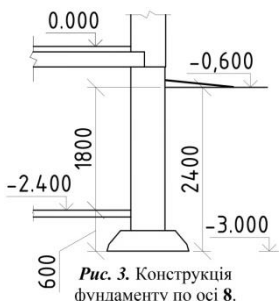
$k_h=1,1$ - враховуємо ймовірність припинення будівництва на зимовий період; d_{fn} - нормативна глибина промерзання ґрунту, яку визначаємо за формулою (3) $d_{fn} = d_0 \sqrt{M_t}$, де $d_0=0,28m$ – прийнято як для супісків.

Згідно з табл. 3 **МВ** для м. Рівне сума абсолютних значень середньомісячних від’ємних температур за зиму становить: $M_t = 2,6 + 5,4 + 4,4 = 12,4$. Отже $d_{fn} = d_0 \sqrt{M_t} = 0,28 \sqrt{12,4} = 0,99m$.

Розрахункова глибина промерзання ґрунту становитиме $d_f = 1,1 \cdot 0,99 = 1,09m$.

Врахуємо прокладання водогону і каналізації, які проходять крізь стіни підвалью і нижче розрахункової глибини промерзання ґрунту. Таким чином, глибина закладення фундаменту, виходячи з *глибини сезонного промерзання ґрунтів* становитиме

$$d = 1,09 + 0,3 = 1,39 \approx 1,4m.$$



Глибина закладення фундаменту, виходячи з конструктивних особливостей будівлі становить $d = 2,4m$ (див. рис. 3).

Аналізуючи інженерно-геологічні і гідрогеологічні умови будмайданчика та враховуючи вимоги табл. 1 **МВ**, в подальші розрахунки приймаємо більше з отриманих значень. Отже, глибину закладення фундаменту по осі 8 приймаємо рівною $d = 2,4m$.

Стовпчастий фундамент на перетині осей А і З. В нашому випадку глибина закладення фундаменту, може залежати від *глибини сезонного промерзання ґрунтів та конструктивних особливостей будівлі і фундаменту*.

Глибина закладення фундаменту, виходячи з *глибини сезонного промерзання* становить $d = 1,4\text{м}$ (див. розрахунок для фундаменту по осі 8).

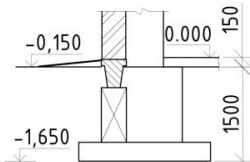


Рис. 4. Конструкція фундаменту на перетині осей А і З.

враховуючи вимоги табл. 1 **МВ**, в подальші розрахунки приймаємо більше з отриманих значень. Отже, глибину закладення фундаменту на перетині осей А і З приймаємо рівною $d = 1,5\text{м}$.

Стовпчастий фундамент на перетині осей А і 5. В нашому випадку глибина закладення фундаменту, може залежати від *глибини сезонного промерзання ґрунтів* та *конструктивних особливостей будівлі і фундаменту*.

Глибина закладення фундаменту, виходячи з *глибини сезонного промерзання* становить $d = 1,4\text{м}$ (див. розрахунок для фундаменту по осі 8).

Глибина закладення фундаменту, виходячи з *конструктивних особливостей фундаменту* становить $d = 1,5\text{м}$ (див. рис. 4), але враховуючи те, що відмітка підошви фундаментів по осі 5 буде рівна відмітці підошви стрічкового фундаменту по осі 8, то відмітку підошви фундаменту на перетині осей А і 5 приймаємо на цьому ж рівні, тобто на відмітці -3,000. Отже глибина закладення фундаменту з урахуванням цього становить $d = 2,85\text{м}$ (див. рис. 5).

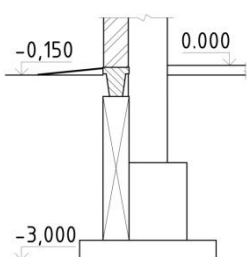


Рис. 5. Конструкція фундаменту на перетині осей А і 5.

Аналізуючи інженерно-геологічні і гідрогеологічні умови будмайданчика та враховуючи вимоги табл. 1 **МВ**, в подальші розрахунки приймаємо більше з отриманих значень. Отже, глибину закладення фундаменту на перетині осей А і 5 приймаємо рівною $d = 2,85\text{м}$.

1.2. Визначення розмірів підошви фундаментів

При проектуванні фундаментів слід дотримуватися таких основних принципів: конструкція в першу чергу повинна бути надійна; конструкція повинна бути економічна. Стосовно основ фундаментів перший принцип досягається при виконанні умови $p \leq R$, другий - при виконанні $p \rightarrow R$, де p - середній тиск під підошвою фундаменту, R - розрахунковий опір ґрунту, який визначається за формулою

$$R = \frac{\gamma_{c1}\gamma_{c2}}{k} [M_\gamma k_z b \gamma_H + M_q d_1 \gamma'_H + (M_q - 1) d_b \gamma'_H + M_c c_H], \quad (4)$$

де γ_{c1} , γ_{c2} - коефіцієнти умов роботи, які приймаються за табл. 4; k - коефіцієнт, який приймається рівним $k=1$, якщо міцнісні характеристики ґрунту (ϕ, c) визначались безпосереднім випробуванням і $k=1,1$ - якщо вони прийняті з таблиць додатку В ДБН В.2.1-10-2009; k_z - коефіцієнт, що приймають: при $b < 10m$ - $k_z=1$, при $b \geq 10m$ - $k_z=8/b+0,2$; b - ширина підошви фундаменту, m ; M_γ , M_q , M_c - коефіцієнти, які визначаються з табл. 5; γ_H - усереднене розрахункове значення питомої ваги ґрунтів, що залягають нижче підошви фундаменту, kH/m^3 (за наявності підземних вод визначають з урахуванням зважувальної дії води); γ'_H - усереднене розрахункове значення питомої ваги ґрунтів вище підошви фундаменту, kH/m^3 ; c_H - розрахункове значення питомого зчеплення ґрунту, що залягає безпосередньо під підошвою фундаменту, kPa ; d_b - глибина підвалу, M (відстань від рівня планування землі до підлоги підвалу, для споруд з підвалом глибиною понад 2м приймають $d_b=2m$); d_1 - глибина закладення фундаментів безпід瓦льних споруд, зведена глибина закладення зовнішніх і внутрішніх фундаментів від підлоги підвалу, яка визначається за формулою

$$d_1 = h_s + h_{cf} \gamma_{cf} / \gamma_H, \quad (5)$$

де h_s - товщина шару ґрунту вище підошви фундаменту з боку підвалу, m ; h_{cf} - товщина конструкції підлоги підвалу; γ_{cf} - розрахункове значення питомої ваги конструкції підлоги підвалу kH/m^3 .

Таблиця 4 (табл. Е.7 ДБН В.2.1-10-2009)
Значення коефіцієнтів γ_{c1} , γ_{c2}

Грунти	Коефіцієнт γ_{c1}	Коефіцієнт γ_{c2} для споруд із жорсткою конструктивною схемою при відношенні довжини споруди або її відсіку до висоти L/H	
		4 і більше	1,5 і менше
Великоуламкові з піщаним заповнювачем і піщані, крім дрібних і пилуватих	1,4	1,2	1,4
Піски дрібні	1,3	1,1	1,3
Піски пилуваті			
малого і середнього ступеня водонасичення	1,25	1,0	1,2
насичені водою	1,1	1,0	1,2
Глинисті, а також великоуламкові з глинистим заповнювачем з показником текучості ґрунту або заповнювача:			
$I_L \leq 0,25$	1,25	1,0	1,1
$0,25 < I_L \leq 0,50$	1,2	1,0	1,1
$I_L > 0,50$	1,1	1,0	1,1

1. До споруд із жорсткою конструктивною схемою відносяться споруди, конструкції яких спеціально пристосовані до сприйняття зусиль від деформацій основ (водонапірні башти, димові труби, тощо). 2. Для будинків із гнучкою конструктивною схемою значення коефіцієнта γ_{c2} приймають за одиницю. 3. При проміжних значеннях L/H коефіцієнт γ_{c2} приймається за інтерполяцію.

Таблиця 5 (табл. Е.8 ДБН В.2.1-10-2009)
Значення коефіцієнтів M_y , M_q , M_c

Кут внутрішнього тертя φ_{II} , град	Коефіцієнти			Кут внутрішнього тертя φ_{II} , град	Коефіцієнти			Кут внутрішнього тертя φ_{II} , град	Коефіцієнти		
	M_y	M_q	M_c		M_y	M_q	M_c		M_y	M_q	M_c
0	0	1,00	3,14	16	0,36	2,43	4,99	31	1,24	5,95	8,24
1	0,01	1,06	3,23	17	0,39	2,57	5,15	32	1,34	6,34	8,55
2	0,03	1,12	3,32	18	0,43	2,73	5,31	33	1,44	6,76	8,88
3	0,04	1,18	3,41	19	0,47	2,89	5,48	34	1,55	7,22	9,22
4	0,06	1,25	3,51	20	0,51	3,06	5,66	35	1,68	7,71	9,58
5	0,08	1,32	3,61	21	0,56	3,24	5,84	36	1,81	8,24	9,97
6	0,10	1,39	3,71	22	0,61	3,44	6,04	37	1,95	8,81	10,37
7	0,12	1,47	3,82	23	0,69	3,65	6,24	38	2,11	9,44	10,80
8	0,14	1,55	3,93	24	0,72	3,87	6,47	39	2,28	10,11	11,25
9	0,16	1,64	4,05	25	0,78	4,11	6,67	40	2,46	10,85	11,73
10	0,18	1,73	4,17	26	0,84	4,37	6,90	41	2,66	11,64	12,24
11	0,21	1,83	4,29	27	0,91	4,64	7,14	42	2,88	12,51	12,79
12	0,23	1,94	4,42	28	0,98	4,93	7,40	43	3,12	13,46	13,37
13	0,26	2,05	4,55	29	1,06	5,25	7,67	44	3,38	14,50	13,98
14	0,29	2,17	4,69	30	1,15	5,59	7,95	45	3,66	15,64	14,64
15	0,32	2,30	4,84								

Забезпечити виконання умови $p \leq R$ можна таким чином. Задаються розмірами підошви фундаменту, визначають p , R , і порівнюють ці величини. Якщо $p > R$, то збільшують розміри підошви, а якщо p значно менше R , то зменшують ці розміри і повторюють визначення p , R і їх порівняння. Таким чином, за декілька обчислень визначають необхідні розміри підошви.

На практиці використовують інший підхід. Задаються наближеним табличним значенням розрахункового опору ґрунту R_0 (значення R_0 , наведені в табл. 6-9 при $b=1\text{m}$ і $d=2\text{m}$). Потім визначають площину підошви фундаменту A і задаються її розмірами в плані. Для центрально завантажених фундаментів приймають квадратну підошву, а для позацентрово завантажених – прямокутну, розвинуту у напрямку дії згинального моменту чи поперечної сили.

Попередня ширина стрічкових фундаментів визначається за формулою

$$b = \frac{n_{II}}{R_0 - \bar{\gamma}d}, \quad (6)$$

де n_{II} – навантаження на 1m довжини фундаменту.

Попередня площа підошви стовпчастих фундаментів визначається за формулою:

$$A = \frac{N_{II}}{R_0 - \bar{\gamma}d} \quad (7)$$

Після визначення (в першому наближенні) розмірів підошви фундаменту перевіряють виконання умов:

для стрічкового фундаменту (рис. 6)

$$p = \frac{n_{II}}{b} + \bar{\gamma}d \leq R \quad (8)$$

для центрально завантаженого фундаменту (рис. 7)

$$p = \frac{N_{II}}{A} + \bar{\gamma}d \leq R \quad (9)$$

для позацентрово завантаженого в одному напрямку (рис. 8)

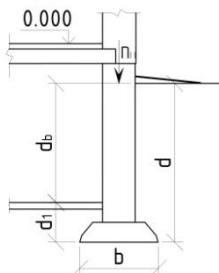


Рис. 6. Розрахункова схема стрічкового фундаменту.

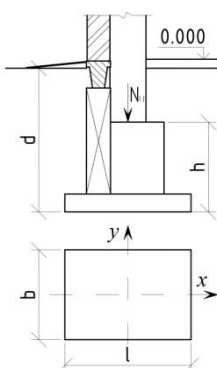
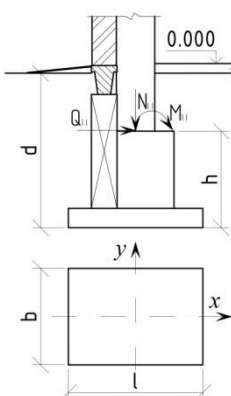


Рис. 7. Розрахункова схема центрально завантаженого фундаменту.



Rис. 8. Розрахункова схема позацентрово завантаженого в одній площині фундаменту.

$$\left. \begin{aligned} p &= \frac{N_H}{A} + \bar{\gamma}d \leq R \\ p_{\max} &= \frac{N_H}{A} + \bar{\gamma}d + \frac{M_H + Q_H h}{W} \leq 1,2R \\ p_{\min} &= \frac{N_H}{A} + \bar{\gamma}d - \frac{M_H + Q_H h}{W} \geq 0 \end{aligned} \right\}, \quad (10)$$

де $\bar{\gamma}$ - усереднена вага матеріалу фундаменту і ґрунту на його обрізах ($\bar{\gamma} \approx 20 \text{ kN/m}^3$); M_H, Q_H - момент і горизонтальна сила на рівні обрізу фундаменту відносно (у напрямку) відповідної осі; h - відстань від підошви фундаменту до його обрізу; W - момент опору підошви фундаменту відносно осі, у напрямку якої діють позацентрові сили.

Якщо: в основі фундаменту залягає

ґрунт з розрахунковим опором $R \leq 150 \text{ kPa}$; проектується будівля з мостовими кранами вантажопідйомністю $\geq 75 \text{ t}$; проектується відкрита кранова естакада при кранах вантажопідйомністю $\geq 15 \text{ t}$; проектується споруда баштового типу (димова труба, силос), то не допускається відрив підошви фундаменту від ґрунту основи і епюра тиску повинна бути трапецієподібна із співвідношенням $p_{\min} / p_{\max} \geq 0,25$.

В інших випадках проектування будівель з мостовими кранами також не допускається відрив підошви фундаменту від ґрунту основи, але епюра тиску може бути трикутною.

При проектуванні будівель без мостових кранів допускається навіть неповне торкання підошви фундаменту до ґрунту основи, якщо

$$e = \frac{M_H + Q_H h}{N_H + Ad\bar{\gamma}} \leq \frac{1}{4} \quad (11)$$

Найбільший крайовий тиск в цьому випадку визначають за формулою

$$p_{\max} = \frac{2N_H}{3b(l/2 - e)} \quad (12)$$

При невиконанні умов (8)÷(10) збільшують розміри підошви фундаменту і повторюють необхідні обчислення. Якщо

$p \ll R$, то зменшують розміри підошви фундаменту. Фундамент вважається надійно і економічно запроектованим, якщо $p \rightarrow R$ і виконуються умови (8)÷(10).

Таблиця 6 (табл. Е.1 ДБН В.2.1-10-2009)

Розрахунковий опір R_o великоуламкових ґрунтів

Великоуламкові ґрунти	Значення R_o , кПа
Галькові (щебенисті) з заповнювачем: піщаним	600
пилувато-глинистим з показником текучості: $I_L \leq 0,5$	450
$0,5 < I_L \leq 0,75$	400
Гравійні (жорсткі) з заповнювачем: піщаним	500
пилувато-глинистим з показником текучості: $I_L \leq 0,5$	400
$0,5 < I_L \leq 0,75$	350

Таблиця 8 (табл. Е.3 ДБН В.2.1-10-2009)

Розрахунковий опір R_o глинистих (непросідаючих) ґрунтів

Глинисті ґрунти	Коефіцієнт пористості e	Значення R_o , кПа, при показнику текучості ґрунту	
		$I_L = 0$	$I_L = 1$
Супіски	0,5	300	300
	0,7	250	200
Суглинки	0,5	300	250
	0,7	250	180
Глини	1,0	200	100
	0,5	600	400
	0,6	500	300
	0,8	300	200
	1,1	250	100

Таблиця 7 (табл. Е.2 ДБН В.2.1-10-2009)

Розрахунковий опір R_o пісків

Піски	Значення R_o , кПа, у залежності від щільності пісків	
	щільні	середньої щільності
Крупні	600	500
Середньої крупності	500	400
Дрібні:		
малого ступеню водонасичення	400	300
середнього ступеню водонасичення і насичені водою	300	200
Пилуваті:		
малого ступеню водонасичення	300	250
середнього ступеню водонасичення	200	150
насичені водою	150	100

Таблиця 9 (табл. Е.4 ДБН В.2.1-10-2009)

Розрахунковий опір R_o глинистих (просідаючих) ґрунтів

Грунти	Значення R_o , кПа, ґрунтів			
	природного складу із щільністю в сухому стані ρ_d , т/м ³	ущільнених із щільністю в сухому стані ρ_d , т/м ³	$1,35$	$1,55$
Супіски	300	300	200	250
	150	180		
Суглинки	350	400	250	300
	180	200		

Над риском наведені значення R_o , що відносяться до нем замочених просідаючих ґрунтів з коефіцієнтом водонасичення $S_r \leq 0,5$; під рискою - значення R_o , що відносяться до таких же ґрунтів з $S_r \geq 0,8$, а також до замочених просідаючих ґрунтів. Для проміжних значень S_r (від 0,5 до 0,8) R_o визначають інтерполяцією.

Приклад 2. Визначити розміри підошви стрічкових фундаментів по осі 8 та стовпчастих фундаментів на перетині осей А і З, Г і З будівлі, конструктивна схема якої наведена до прикладу в МВ 03-03-88М в інженерно-геологічних умовах варіанту "ХУ" (див. приклад МВ 03-03-031).

Стрічковий фундамент по осі 8. Глибину закладення фундаменту $d = 2,4 \text{ м}$ - прийнято з прикладу 1. Навантаження на рівні планувальної відмітки $n_{II} = 152,0 \text{ кН/м}$ - прийнято з табл. 16 МВ 03-03-88М.

Викреслюємо конструкцію фундаменту, прив'язавши його до інженерно-геологічних умов (див. рис. 9). За умовну позначку 0.000 приймаємо рівень чистої підлоги першого поверху будівлі, що відповідає абсолютній відмітці 181,8 ($181,7 - 0,5 + 0,6 = 181,8$, де 181,7 - абсолютна відмітка Св. 2 в інженерно-геологічних умовах варіанту "ХУ"; 0,5 - товщина ґрунтово-рослинного шару; 0,6 - відносна відмітка розпланування землі біля фундаменту по осі 8).

Основою підошви фундаменту буде слугувати ПГЕ – 2 - су-пісок твердий. Оскільки в основі залягають просідаючі ґрунти, то перед влаштуванням фундаментів необхідно їх поліпшити (способ покращення будівельних властивостей просідаючих ґрунтів див. п. 1.3).

Визначаємо попередню ширину фундаменту за формулою (6) прийнявши $R_0 = 280 \text{ кПа}$ (див. табл. 9)

$$b = \frac{n_{II}}{R_0 - \bar{\gamma}d} = \frac{152,0}{280 - 20 \cdot 2,4} = 0,66 \text{ м}.$$

Уточнююмо розрахунковий опір ґрунту R за формулою (4). Визначаємо складові, які входять в цю формулу: $\gamma_{cl} = 1,25$, $\gamma_{cl} = 1,0$ (за табл. 4); $k = 1$ (характеристики ґрунту основи визначались безпосереднім випробуванням). $k_z = 1$ ($b = 0,66 < 10 \text{ м}$).

Оскільки обчислена ширина підошви фундаменту $b = 0,66 < 10 \text{ м}$, то усереднене значення міцнісних характеристик (ϕ , c) і питомої ваги γ ґрунту, який залягає нижче підошви фундаменту, визначаємо в межах глибини $z = b/2 = 0,66/2 = 0,33 \text{ м}$.

Для подальших розрахунків приймаємо: $\phi_{II} = 25^\circ$, $c_{II} = 8 \text{ кПа}$, $\gamma_{II} = 19,5 \text{ кН/м}^3$ (прийнято після ущільнення ґрунту див. п.3), $M_y = 0,78$, $M_q = 4,11$, $M_c = 6,67$ (з табл. 5 при $\phi_{II} = 25^\circ$); $\gamma'_{II} = 17,2 \text{ кН/м}^3$ (питома вага ґрунту зворотньої засипки); $d_b = 1,8 \text{ м}$.

Отже,

$$R = \frac{\gamma_{cl}\gamma_{c2}}{k} [M_\gamma k_z b \gamma_{II} + M_q d_1 \gamma'_{II} + (M_q - 1) d_b \gamma'_{II} + M_c c_{II}] = \frac{1,25 \cdot 1,0}{1,0} \times \\ \times [0,78 \cdot 1,0 \cdot 0,66 \cdot 19,5 + 4,11 \cdot 0,6 \cdot 17,2 + (4,11 - 1) 1,8 \cdot 17,2 + 6,67 \cdot 8] = \\ = 252,6 \text{ кПа}$$

Перераховуємо ширину стрічкового фундаменту при $R=252,6 \text{ кПа}$

$$b = \frac{152,0}{\frac{152,0}{252,6 - 20 \cdot 2,4}} = 0,74 \text{ м.}$$

Приймаємо більшу по ширині типову фундаменту плиту шириною $b=0,8 \text{ м}$ за ДСТУ Б В.2.6-109:2010. Перевіряємо виконання умови (9)

$$p = \frac{n_{II}}{A} + \bar{\gamma}d = \frac{152,0}{0,8 \cdot 1,0} + 20 \cdot 2,4 = 238,0 \text{ кПа} < R = 255,3 \text{ кПа.}$$

$$R = \frac{1,25 \cdot 1,0}{1,0} [0,78 \cdot 1,0 \cdot 0,8 \cdot 19,5 + 4,11 \cdot 0,6 \cdot 17,2 + (4,11 - 1) 1,8 \cdot 17,2 + 6,67 \cdot 8] = \\ = 255,3 \text{ кПа}$$

Умова виконується. Остаточно приймаємо фундаменту плиту шириною $b=0,8 \text{ м}$ за ДСТУ Б В.2.6-109:2010.

Стовпчастий фундамент на перетині осей А і З. Глибину закладення фундаменту $d = 1,5 \text{ м}$ - прийнято з прикладу 1. Наваження на рівні обрізу фундаменту: $N_{II}=895,53 \text{ кН}$; $Q_{II}=24,45 \text{ кН}$; $M_{II}=574,52 \text{ кН}\cdot\text{м}$ - прийнято з МВ 03-03-88М сторінка 77.

Викреслюємо конструкцію фундаменту, прив'язавши його до інженерно-геологічних умов (див. рис. 10). За умовну позначку 0.000 приймаємо рівень чистої підлоги першого поверху будівлі, що відповідає абсолютній відмітці 181,8 (див. розрахунок для фундаменту по осі 8).

Основою підошви фундаменту буде слугувати ІГЕ – 2 - супісок твердий. Оскільки в основі

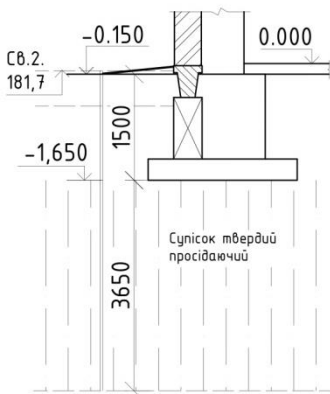


Рис. 10. Вертикальна прив'язка фундаменту на перетині осей А і З.

залигають просідаючі ґрунти, то перед влаштуванням фундаментів необхідно їх поліпшити (спосіб покращення будівельних властивостей просідаючих ґрунтів див. п. 1.3).

Визначаємо в першому наближенні площу підошви стовпчастого фундаменту за формулою (7) прийнявши $R_0=280\text{kPa}$ (див. табл. 9)

$$A = \frac{N_H}{R_0 - \gamma d} = \frac{895,53}{280 - 20 \cdot 1,5} = 3,58\text{m}^2.$$

Приймаємо найближчий більший по площі типовий фундамент за серією 1.412-1/77 з розмірами підошви $b \times l = 1,8 \times 2,1\text{m}$, $A = 3,78\text{m}^2$.

Уточнююємо розрахунковий опір ґрунту R за формулою (4). Визначаємо складові, які входять в цю формулу: $\gamma_{cl} = 1,25$, $\gamma_{c1} = 1,0$ (за табл. 4); $k = 1$ (характеристики ґрунту основи визначались безпосереднім випробуванням). $k_z = 1$ ($b = 1,5 < 10\text{m}$).

Оскільки обчислена ширина підошви фундаменту $b = 1,5 < 10\text{m}$, то усереднене значення міцнісних характеристик (φ, c) і питомої ваги γ ґрунту, який залигає нижче підошви фундаменту, визначаємо в межах глибини $z = b/2 = 1,8/2 = 0,9\text{m}$. Для подальших розрахунків приймаємо: $\varphi_H = 25^\circ$, $c_H = 8\text{kPa}$, $\gamma_H = 19,5\text{kH/m}^3$ (прийнято після ущільнення ґрунту див. п.1.3), $M_\gamma = 0,78$, $M_q = 4,11$, $M_c = 6,67$ (з табл. 5 при $\varphi_H = 25^\circ$); $\gamma_H' = 17,2\text{kH/m}^3$ (питома вага ґрунту зворотньої засічки).

Отже,

$$R = \frac{1,25 \cdot 1,0}{1,0} [0,78 \cdot 1,0 \cdot 1,8 \cdot 19,5 + 4,11 \cdot 1,5 \cdot 17,2 + 6,67 \cdot 8] = 233,5\text{kPa}.$$

Перевіряємо виконання першої умови виразу (10)

$$p = \frac{895,53}{3,78} + 20 \cdot 1,5 = 266,9\text{kPa} > R = 233,5\text{kPa}.$$

Умова не виконується. Збільшуємо розміри підошви фундаменту. Приймаємо більший за розмірами типовий фундамент за серією 1.412-1/77 з розмірами підошви $b \times l = 1,8 \times 2,4\text{m}$, $A = 4,32\text{m}^2$ і знову перевіряємо виконання цієї умови

$$p = \frac{895,53}{4,32} + 20 \cdot 1,5 = 237,3\text{kPa} > R = 233,5\text{kPa}.$$

Умова не виконується. Збільшуємо розміри підошви

фундаменту. Приймаємо більший за розмірами типовий фундамент за серією 1.412-1/77 з розмірами підошви $b \times l = 2,1 \times 2,4m$, $A = 5,04 m^2$ і знову перевіряємо виконання цієї умови

$$p = \frac{N_{II}}{A} + \bar{\gamma}d = \frac{895,53}{5,04} + 20 \cdot 1,5 = 207,7 \text{ kPa} < R = 239,2 \text{ kPa}, \text{ де}$$

$$R = \frac{1,25 \cdot 1,0}{1,0} [0,78 \cdot 1,0 \cdot 2,1 \cdot 19,5 + 4,11 \cdot 1,5 \cdot 17,2 + 6,67 \cdot 8] = 239,2 \text{ kPa}.$$

Умова виконується. Перевіряємо виконання другої умови виразу (10)

$$\begin{aligned} p_{\max} &= \frac{N_{II}}{A} + \bar{\gamma}d + \frac{M_{II} + Q_{II}h}{W} = \frac{895,53}{5,04} + 20 \cdot 1,5 + \frac{574,52 + 24,45 \cdot 1,5}{(2,1 \cdot 2,4^2) / 6} = \\ &= 510,9 \text{ kPa} > 1,2R = 1,2 \cdot 239,2 = 287,0 \text{ kPa} \end{aligned}$$

Умова не виконується. Збільшуємо розміри підошви фундаменту. Приймаємо більший за розмірами типовий фундамент за серією 1.412-1/77 з розмірами підошви $b \times l = 2,1 \times 2,7m$, $A = 5,67 m^2$ і знову перевіряємо виконання цієї умови

$$p_{\max} = \frac{895,53}{5,67} + 20 \cdot 1,5 + \frac{574,52 + 24,45 \cdot 1,5}{(2,1 \cdot 2,7^2) / 6} =$$

$$= 427,5 \text{ kPa} > 1,2R = 1,2 \cdot 239,2 = 287,0 \text{ kPa}$$

Умова не виконується. Збільшуємо розміри підошви фундаменту. Приймаємо більший за розмірами типовий фундамент за серією 1.412-1/77 з розмірами підошви $b \times l = 2,4 \times 2,7m$, $A = 6,48 m^2$ і знову перевіряємо виконання цієї умови

$$p_{\max} = \frac{895,53}{6,48} + 20 \cdot 1,5 + \frac{574,52 + 24,45 \cdot 1,5}{(2,4 \cdot 2,7^2) / 6} = 377,8 \text{ kPa} > 1,2R = , \text{ де}$$

$$1,2 \cdot 244,9 = 293,9 \text{ kPa}$$

$$R = \frac{1,25 \cdot 1,0}{1,0} [0,78 \cdot 1,0 \cdot 2,4 \cdot 19,5 + 4,11 \cdot 1,5 \cdot 17,2 + 6,67 \cdot 8] = 244,9 \text{ kPa}.$$

Умова не виконується. Збільшуємо розміри підошви фундаменту. Приймаємо більший за розмірами типовий фундамент за серією 1.412-1/77 з розмірами підошви $b \times l = 2,4 \times 3,0m$, $A = 7,2 m^2$ і знову перевіряємо виконання цієї умови

$$p_{\max} = \frac{895,53}{7,2} + 20 \cdot 1,5 + \frac{574,52 + 24,45 \cdot 1,5}{(2,4 \cdot 3,0^2) / 6} = 324,2 \text{kPa} > 1,2R =$$

$$1,2 \cdot 244,9 = 293,9 \text{kPa}$$

Умова не виконується. Збільшуємо розміри підошви фундаменту. Приймаємо більший за розмірами типовий фундамент за серією 1.412-1/77 з розмірами підошви $b \times l = 2,7 \times 3,3 \text{м}$, $A = 8,91 \text{м}^2$ і знову перевіряємо виконання цієї умови

$$p_{\max} = \frac{895,53}{8,91} + 20 \cdot 1,5 + \frac{574,52 + 24,45 \cdot 1,5}{(2,7 \cdot 3,3^2) / 6} = 255,2 \text{kPa} < 1,2R = , \text{де}$$

$$1,2 \cdot 250,6 = 300,79 \text{kPa}$$

$$R = \frac{1,25 \cdot 1,0}{1,0} [0,78 \cdot 1,0 \cdot 2,7 \cdot 19,5 + 4,11 \cdot 1,5 \cdot 17,2 + 6,67 \cdot 8] = 250,6 \text{kPa} .$$

Умова виконується. Перевіряємо виконання третьої умови виразу (10)

$$p_{\min} = \frac{N_H}{A} + \bar{\gamma}d - \frac{M_H + Q_H h}{W} = \frac{895,53}{8,91} + 20 \cdot 1,5 - \frac{574,52 + 24,45 \cdot 1,5}{(2,7 \cdot 3,3^2) / 6} = \\ = 5,8 \text{kPa} > 0$$

Умова виконується. Остаточно приймаємо типовий фундамент з розмірами підошви в плані $b \times l = 2,7 \times 3,3 \text{м}$, висотою $h = 1,5 \text{м}$, марка фундаменту ФА10-1.

1.3. Проектування фундаментів на просідаючих ґрунтах

Якщо ґрунт в природному стані непридатний для сприйняття діючого навантаження, то необхідне його поліпшення. Ґрунтами, непридатними для використання їх в якості основ фундаментів неглибокого закладення є: *лесові* - структура їх різко порушується при замочуванні; *мерзлі* - структура їх різко порушується при відтаненні; *пухкі піски* - різко ущільнюються при дії динамічних навантажень; *мули і чутливі глини* - деформаційні і міцнісні характеристики різко зменшуються при порушенні їх природної структури; *набухаючі* - при зволоженні суттєво збільшуються в об'ємі, а при висиханні - зменшуються; *торфові і затоплювані ґрунти* - мають значну стисливість і малу міцність, крім того в них продовжують відбуватись процеси гниття органічних речовин.

Враховуючи обмеженість об'єму методичних вказівок

розглянемо лише основні способи покращення будівельних властивостей просідаючих ґрунтів. Відомо, що просідання цих ґрунтів відбувається за рахунок руйнування під дією води (чи інших рідин) структурних зв'язків, які складені легкорозчинними солями. Отже, для того щоб позбутися властивостей просідання необхідно попередньо зруйнувати ці структурні зв'язки чи зробити їх стійкими до води чи будь-якої іншої рідини. Руйнування структурних зв'язків досягається шляхом ущільнення просідаючих ґрунтів важкими трамбівками, ґрутовими палями, витрамбовуванням котлованів, попереднім замочуванням (з вибухами чи без) тощо. Властивості просідання втрачаються при $\rho_d \geq 1,6 \text{ г}/\text{см}^3$. Стійкими структурні зв'язки роблять шляхом їх хімічного зміцнення.

Проектування основ, ущільнених важкими трамбівками. Ущільнення важкими трамбівками застосовується частіше всього для ущільнення просідаючих ґрунтів на майданчиках з I типом ґрутових умов за просіданням. На майданчиках з II типом ґрутових умов *поверхневе* ущільнення ліквідує лише просідання в верхній зоні, тому вживається лише в комбінації з іншими способами – для ущільнення верхнього буферного шару після ущільнення ґрутовими палями, замочуванням, вибухами тощо.

Економічно доцільним є використання цього методу для ущільнення просідаючої товщі потужністю до 4м. Методика полягає в наступному. Трамбівку масою 2÷15т, яка змонтована на базі крана, піднімають на висоту 5÷7м і різко опускають. Під дією власної ваги вона, падаючи на ґрунт, ущільнює його. Кількість ударів по одному сліду для забезпечення необхідного значення ρ_d на потрібну глибину визначається експериментально. Ущільнення важкими трамбівками використовується при коефіцієнті водонасичення $S_r < 0,7$ і щільноті сухого ґрунту $\rho_d \leq 1,55 \text{ г}/\text{см}^3$. Найбільший ефект ущільнення досягається при оптимальній вологості W_{opt} , яка визначається за результатами пробного ущільнення, або приймається $W_{opt}=W_p-(0,01 \div 0,03)$.

В проекті ущільнення ґрунтів важкими трамбівками повинні бути вказані: *глибина ущільнення; діаметр і маса трамбівки; величина недобору ґрунту до проектної відмітки закладення фундаментів; розміри ущільнюваної ділянки в плані; потрібна щільність сухого ґрунту на нижній межі ущільнюваної зони;*

оптимальна вологість ґрунту і кількість води для його зволоження; розрахунковий опір основи з ущільненого ґрунту.

Глибина ущільнення важкими трамбівками h_s залежить від щільності і вологості ґрунтів, діаметра й маси трамбівки і при W_{opt} визначається з виразу

$$h_s = k \cdot d , \quad (13)$$

де d - діаметр трамбівки; k - коефіцієнт, який приймається рівним для супісків і суглинків – **1,8**, для глин – **1,5**.

Маса трамбівки призначається виходячи з того, щоб статичний тиск на ґрунт p складав не менше **15кПа**

$$m = \frac{pA}{g} , \quad (14)$$

де A - площа основи трамбівки; $g=9,81\text{м/с}^2$ – прискорення вільного падіння. Пришвидшення

Величина недобору ґрунту до проектної відмітки закладення фундаментів Δh , приймається рівною пониженню трамбованої поверхні і визначається за формулою

$$\Delta h = 1,2h_s(1 - \rho_d / \rho_{ds}) , \quad (15)$$

де ρ_d - щільність сухого ґрунту до ущільнення; ρ_{ds} - щільність сухого ґрунту після ущільнення (приймається $1,65\div1,72\text{г/см}^3$).

При ущільненні з метою усунення просідаючих властивостей ґрунтів ширина b_s і довжина l_s ущільненої ділянки приймаються рівними

$$b_s = b + 0,5|b - d| \quad (16)$$

$$l_s = l + 0,5|l - d| , \quad (17)$$

де b і l - відповідно ширина і довжина зовнішнього контуру фундаментів.

Ширина ущільненої смуги за межами фундаментів повинна бути не меншою **0,2м** з кожної сторони.

Фізико-механічні характеристики ущільнених ґрунтів приймаються за результатами їх визначень в польових чи лабораторних умовах. При відсутності даних польових чи лабораторних досліджень міцнісні характеристики приймаються як для ґрунтів природного стану, а модуль деформації для супісків **20МПа**, для суглинків і глин – **25МПа**.

Приклад 3. Визначити параметри ущільненого важкою трамбівкою ПГЕ-2 інженерно-геологічних умов варіанту "ХV" (див. приклад МВ 03-03-031) під фундаменти будівлі, які запроектовані в прикладі 2.

Грунт ущільнюватимемо після відривки котловану. Найбільша потужність ущільнюваної товщі буде під стовпчастим фундаментом і становитиме $3,65\text{m}$ (після відривки котловану глибиною, яка рівна глибині закладення фундаменту $h_k=d=1,5\text{m}$, див. рис. 10). Визначаємо величину недобору ґрунту при копанні котловану за формулою (15)

$$\Delta h = 1,2h_s(1 - \rho_d / \rho_{ds}) = 1,2 \cdot 3,65(1 - 1,5/1,7) = 0,52\text{m}, \text{ де}$$

h_s – найбільша потужність ущільнюваної товщі буде під стовпчастим фундаментом і становитиме $3,65\text{m}$ (див. рис. 10); $\rho_d = \rho/(1+W) = 1,72/(1+0,146) = 1,5\text{g/cm}^3$; $\rho_{ds} = 1,7\text{g/cm}^3$.

Визначаємо необхідний діаметр d трамбівки з виразу (13)
 $d = h_s / k = 3,65 / 1,8 = 2,03\text{m}$.

Визначаємо масу m трамбівки з виразу (14)

$$m = 20 \cdot 3,23 / 9,81 = 6,6\text{t}, \text{ де}$$

$$p=20\text{kPa}; A=\pi d^2/4=3,14 \cdot 2,03^2/4=3,23\text{m}^2.$$

Визначаємо ширину ущільненої площини під будівлею. Якщо зовнішній контур фундаменту має розміри $37,5 \times 38,15\text{m}$, то розміри ущільненої площини дорівнюють: $b_s=37,5+2 \cdot 0,2=37,9\text{m}$, $l_s=38,15+2 \cdot 0,2=38,55\text{m}$.

Після ущільнення, питома вага ґрунту в основі фундаменту становитиме $\gamma_H=\rho_{ds}(1+W_{opt})g=1,7(1+0,17)9,81=19,5\text{kN/m}^3$.

Технологічна карта виконання робіт по поверхневому ущільненню ґрунтів наведена на рис. 11.

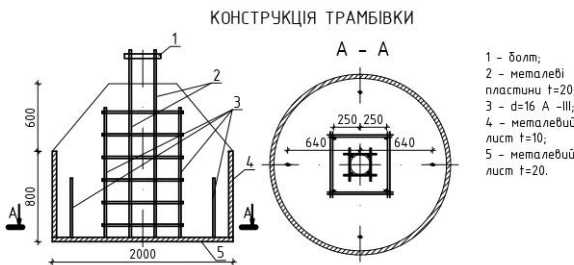
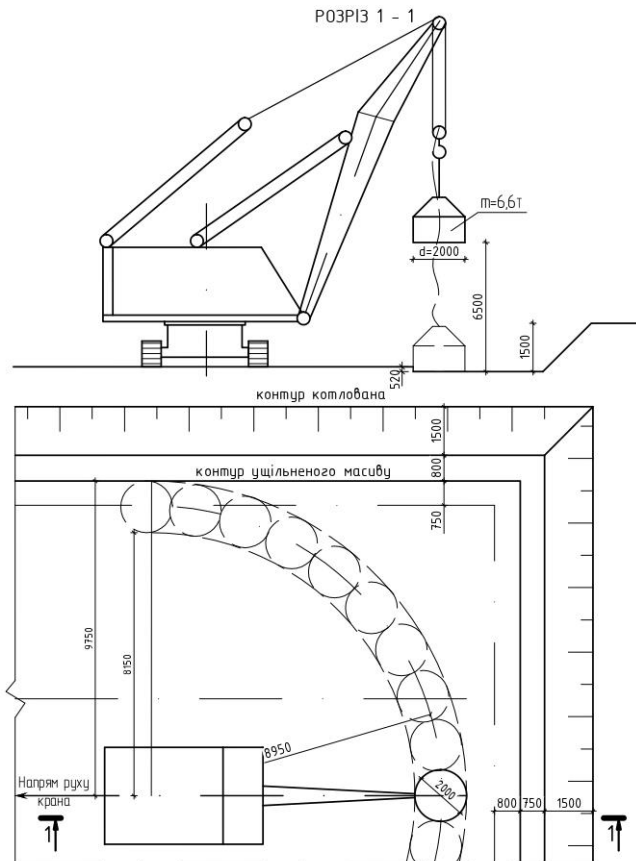


Рис.11. Технологічна картка виконання робіт по поверхневому ущільненню

Проектування основ, ущільнених ґрутовими палями.

Суть методу полягає в тому, що в ґрунті пробивають чи пробурюють свердловини, які заповнюються ґрутом з пошаровим його ущільненням. При цьому ущільнюється просідаючий ґрунт навколо свердловин. Раціональним є використання методу при потужності просідаючої товщі $10\div25m$ і вологості, близькій до оптимальної. У верхній частині масиву відбувається випирання ґрунту, тобто утворюється недоущільнений буферний шар, який зрізують або доущільнюють трамбуванням.

В проекті ущільнення ґрутовими палями повинні бути вказані: *розміри ущільнюваної ділянки з прив'язкою до плану фундаментів; схема розміщення ґрутових паль іх діаметр і довжина; глибина ущільнення; проектна щільність сухого ґрунту в масиві; спосіб влаштування свердловин і ущільнення ґрунту; вид, вологість і кількість ґрунту, необхідного для набивки свердловин; спосіб доущільнення чи величина зрізки буферного шару; розрахунковий опір основи з ущільненого ґрунту.*

Ущільнення ґрутовими палями виконують в котлованах з розмірами, які на **3м** в кожну сторону перевищують розміри ущільненої ділянки. Відмітку дна котловану призначають з врахуванням наступної часткової зрізки буферного шару, при цьому товщина яка залишається не повинна перевищувати **1,5м**. Буферний шар доущільнюється на глибину не менше **1,5м**. Товщина буферного шару приймається рівною

$$h_b = k_b \cdot d, \quad (18)$$

де d - діаметр ґрутових паль, який приймається рівним **0,5м** при пробивці їх верстатами ударно-канатного буріння; k_b - коефіцієнт, який приймається рівним для супісків – **4**, для суглинків – **5**, для глин – **6**.

Розміри ущільненого масиву в плані повинні перевищувати розміри підошви фундаменту з кожної сторони: *в ґрутових умовах I-го типу за просіданням* – на $0,2b$, але не менше **0,8м**; *в ґрутових умовах II-го типу за просіданням* – на $0,2H_s$, де b - ширина фундаменту; H_s - потужність просідаючої товщі. При цьому ширина ущільненого майданчика повинна бути *в ґрутових умовах I-го типу за просіданням* – не менше **0,2** глибини ущільнення; *в ґрутових умовах II-го типу за просіданням* – не менше $0,5H_s$.

Грунтові палі в межах ущільнюваної ділянки розміщаються в шаховому порядку. Відстань l між центрами свердловин грунтових паль визначається за виразом

$$l = 0,95d \sqrt{\frac{\rho_{ds}}{\rho_{ds} - \rho}}, \quad (19)$$

де ρ_d - щільність сухого ґрунту природного складу; ρ_{ds} - середня щільність сухого ґрунту в ущільненому масиві, яка повинна становити: на ділянках з ґрунтовими умовами за просіданням I-го типу - $\rho_{ds}=1,65\text{г}/\text{см}^3$; II-го типу $\rho_{ds}=1,65\text{г}/\text{см}^3$ в межах верхнього шару до глибини $H_s/2$, а нижче $\rho_{ds}=1,7\text{г}/\text{см}^3$.

Відстань між рядами, розташованих в шаховому порядку, паль становить

$$l' = 0,866l \quad (20)$$

Відмітка низу ґрунтових паль приймається на $1m$ вище проектної глибини ущільнення. Свердловини заповнюють місцевим глинистим ґрунтом оптимальної вологості з пошаровим його ущільненням до середньої щільності $\rho_{ds}=1,75\text{г}/\text{см}^3$.

Маса m ґрунту оптимальної вологості, яка необхідна для набивки $1m$ довжини ґрунтової палі, визначається за формулою

$$m = k_g A \rho_{ds} (1 + W_{opt}), \quad (21)$$

де k_g - коефіцієнт, який приймається для суглинків і глин $k_g=1,1$, для супісків - $k_g=1,4$; A - початкова площа поперечного перерізу ґрунтової палі.

Приклад 4. Визначити параметри ущільненої ґрунтовими паліями основи інженерно-геологічних умов варіанту "ХУ" (див. приклад **МВ 03-03-031**) під фундаменти будівлі, які запроектовані в прикладі 2.

Визначаємо відстань l між центрами ґрунтових паль діаметром $d=0,5m$, які ущільнюють ІГЕ-2 супісок твердий до щільності сухого ґрунту $\rho_{ds}=1,65 \text{ г}/\text{см}^3$:

$$l = 0,95d \sqrt{\rho_{ds} / (\rho_{ds} - \rho)} = 0,95 \cdot 0,5 \sqrt{1,65 / (1,65 - 1,5)} = 1,58m,$$

де $\rho_d = \rho / (1 + W) = 1,72 / (1 + 0,146) = 1,5 \text{ г}/\text{см}^3$.

Відстань між центрами ґрунтових паль для ІГЕ-3 суглинку твердого при $\rho_{ds}=1,7 \text{ г}/\text{см}^3$:

$$l = 0,95d\sqrt{\rho_{ds}/(\rho_{ds} - \rho)} = 0,95 \cdot 0,5\sqrt{1,7/(1,7 - 1,41)} = 1,16m,$$

де $\rho_d = \rho/(1+W) = 1,66/(1+0,175) = 1,41 \text{ г/cm}^3$.

Приймаємо відстань l між центрами ґрунтових паль $l=(1,58+1,16)/2=1,37m$. Відстань між рядами розташованих в шаховому порядку паль $l'=0,866l=0,866 \cdot 1,37=1,19m$.

Визначаємо ширину смуги ущільнення b' по периметру фундаментів будівлі, яка повинна дорівнювати в ґрунтових умовах II типу за просіданням 0,2 потужності просідаючої товщі $b'=0,2H_s=0,2(4,7+6,3)=2,2m$.

Якщо зовнішній контур фундаменту має розміри $37,5 \times 38,15m$, то розміри ущільненої площині дорівнюють:

$$b_s=37,5+2b'=37,5+2 \cdot 2,2=41,9m, \quad (\text{що більше від } 0,5H_s=0,5(4,7+6,3)=5,5m); \\ l_s=38,15+2b'=38,15+2 \cdot 2,2=42,55m.$$

Визначаємо кількість рядів ґрунтових паль n_p , кількість паль в ряду n_n і сумарну кількість паль n :

$$n_p=b_s/l_s+1=41,9/1,19+1=35,2 \rightarrow 36 \text{ рядів};$$

$$n_n=l_s/l=42,55/1,37+1=32,05 \rightarrow 32 \text{ пали};$$

$$n=n_p \cdot n_n=36 \cdot 32=1152 \text{ пали}.$$

Визначаємо масу ґрунту m оптимальної вологості для заповнення пробитих свердловин:

- для заповнення $1m$ свердловини

$$m_1=k_g \cdot A \cdot \rho_{ds}(1+W_{opt})=1,4 \cdot 0,196 \cdot 1,75(1+0,18)=0,567m,$$

де $k_g=1,4$ – свердловину заповнюємо місцевим супіском;

A – площа поперечного перерізу свердловини при $d=0,5m$ дорівнює

$$A=\pi d^2/4=3,14 \cdot 0,5^2/4=0,196m^2; W_{opt}=0,18;$$

- для заповнення однієї ґрунтової палі довжиною $L_s=H_s-1=11-1=10m$ потрібно ґрунту масою

$$m=m_1L_s=0,567 \cdot 10=5,67t.$$

- для ущільнення основи будівлі

$$M=m \cdot n=5,67 \cdot 1152=6532t.$$

Визначаємо товщину буферного шару

$$h_b=k_b \cdot d=4 \cdot 0,5=2,0m.$$

Котлован відкопуємо на глибину рівну глибині закладення фундаменту $h_k=d=1,5m$, не добираючи до проектної відмітки за кладання фундаменту на величину

$$\Delta h=1,2h_s(1-\rho_d/\rho_{ds})=1,2 \cdot 0,5(1-1,5/1,7)=0,07m,$$

де $h_s' = h_b - h_k = 2,0 - 1,5 = 0,5\text{м}$.

Визначаємо діаметр і масу трамбівки для ущільнення буферного шару (порядок визначення діаметра і маси важкої трамбівки наведені в прикладі 3).

Визначаємо відстань поміж осями крайніх рядів ґрунтових паль та крайніх паль в рядах, прив'язуємо ґрунтові палі до осей будинку:

- відстань поміж осями крайніх рядів ґрунтових паль дорівнює

$$l'(n_p-1) = 1,19(36-1) = 41,65\text{м};$$

- відстань поміж осями крайніх ґрунтових паль в ряді

$$l(n_n-1) = 1,37(32-1) = 42,47\text{м};$$

- відстань від літерної осі будинку (осі А і Ж) до крайнього ряду ґрунтових паль (див. рис. 12.) дорівнює

$$(41,65-36)/2 = 2,06\text{м};$$

- відстань від крайніх цифрових осей (осі 1 і 8) до крайніх паль в ряді дорівнює

$$(42,47-37,3)/2 = 2,59\text{м}.$$

Після ущільнення, питома вага ґрунту в основі фундаменту становитиме

$$\gamma_{II} = \rho_{ds}(1 + W_{opt})g = 1,7(1 + 0,17)9,81 = 19,5\text{kH/m}^3.$$

Технологічна карта виконання робіт по ущільненню ґрунтів ґрунтовими палями наведена на рис. 12.

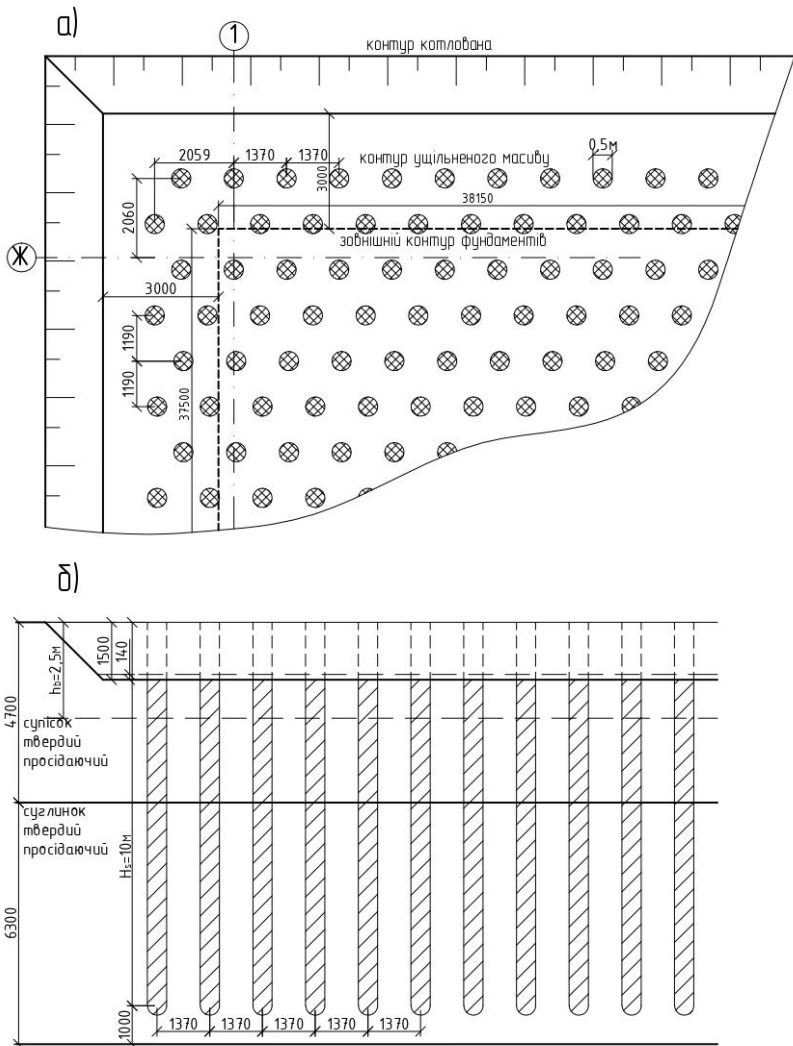


Рис.12. Технологічна карта виконання робіт по ущільненню ґрунтів ґрунтовими пальми
а) - фрагмент плану ґрунтових паль; б) - розріз ущільненого масиву і котлована.

1.4. Визначення деформацій фундаментів

Під час проектування основ фундаментів необхідно визнати сумарне осідання основи фундаменту S , середнє осідання будівлі \bar{S} , відносну нерівномірність осідань ΔS_e та нахил фундаментів i .

В даний час для визначення осідань фундаментів найчастіше використовують *метод пошарового підсумовування*. Сумарне осідання основи фундаменту визначається за формулою

$$S = \beta \sum_{i=1}^n \frac{\sigma_{zp,i} \cdot h_i}{E_i}, \quad (22)$$

Рис. 13. Розрахункова схема до визначення осідання фундаменту.

i -му шарі (визначається як півсума відповідних напруженень на верхній та нижній межах шару рис. 13).

Значення додаткових напруженень на верхній межі i -го шару визначається за виразом

$$\sigma_{zp} = \alpha p_0, \quad (23)$$

де α - безрозмірний коефіцієнт, який приймається за табл. 10; $p_0 = p - \sigma_{zg0}$ – додаткові напруження на рівні підошви фундаменту.

Деформації грунту враховують до глибини H_c , на якій виконується умова $\sigma_{zp} \leq 0,2\sigma_{zg}$, а в сильностисливих ґрунтах ($E \leq 5 \text{ MPa}$) $\sigma_{zp} \leq 0,1\sigma_{zg}$. Товщу ґрунту в межах глибини H_c називають *стисливою*.

Середнє осідання будівлі \bar{S} визначають за формулою

$$\bar{S} = \frac{\sum S_i A_i}{\sum A_i}, \quad (24)$$

де S_i - осідання i -го фундаменту; A_i - площа підошви i -го фундаменту.

Відносну нерівномірність осідань ΔS_e визначають за формулою

$$\Delta S_e = \Delta S / L, \quad (25)$$

де ΔS - різниця осідань між фундаментами; L - відстань між осями цих фундаментів.

Розрахункові значення S , \bar{S} , ΔS , i порівнюють з граничними значеннями цих величин S_u (див табл. 11), тобто

$$S \leq S_u \quad (26)$$

Під величинами S , S_u може розумітись будь-яка з вищевказаних деформацій.

Таблиця 10 (табл. д.1 ДБН В.2.1-10-2009)

Коефіцієнт α

$\xi = 2z/b$	круглих	Коефіцієнт α для фундаментів					стрічкових $n > 10$
		прямокутних із співвідношенням сторін $n = l/b$					
		1.0	1.4	1.8	2.4	3.2	5.0
0.0	1.000	1.000	1.000	1.000	1.000	1.000	1.000
0.4	0.949	0.960	0.972	0.975	0.976	0.977	0.977
0.8	0.756	0.800	0.848	0.866	0.876	0.879	0.881
1.2	0.547	0.606	0.682	0.717	0.739	0.749	0.754
1.6	0.390	0.449	0.532	0.578	0.612	0.629	0.639
2.0	0.285	0.336	0.414	0.463	0.505	0.530	0.545
2.4	0.214	0.257	0.325	0.374	0.419	0.449	0.470
2.8	0.165	0.201	0.260	0.304	0.349	0.383	0.410
3.2	0.130	0.160	0.210	0.251	0.294	0.329	0.360
3.6	0.106	0.131	0.173	0.209	0.250	0.285	0.319
4.0	0.087	0.108	0.145	0.176	0.214	0.248	0.285
4.4	0.073	0.091	0.123	0.150	0.185	0.218	0.255
4.8	0.062	0.077	0.105	0.130	0.161	0.192	0.230
5.2	0.053	0.067	0.091	0.113	0.141	0.170	0.208
5.6	0.046	0.058	0.079	0.099	0.124	0.152	0.189
6.0	0.040	0.051	0.070	0.087	0.110	0.136	0.173
6.4	0.036	0.045	0.062	0.077	0.099	0.122	0.158
6.8	0.031	0.040	0.055	0.064	0.088	0.110	0.145
7.2	0.028	0.036	0.049	0.062	0.080	0.100	0.133
7.6	0.024	0.032	0.044	0.056	0.072	0.091	0.123
8.0	0.022	0.029	0.040	0.051	0.066	0.084	0.113
8.4	0.021	0.026	0.037	0.046	0.060	0.077	0.105
8.8	0.019	0.024	0.033	0.042	0.055	0.071	0.098
9.2	0.017	0.022	0.031	0.039	0.051	0.065	0.091
9.6	0.016	0.020	0.028	0.036	0.047	0.060	0.085
10.0	0.015	0.019	0.026	0.033	0.043	0.056	0.079
10.4	0.014	0.017	0.024	0.031	0.040	0.052	0.074
10.8	0.013	0.016	0.022	0.029	0.037	0.049	0.069
11.2	0.012	0.015	0.021	0.027	0.035	0.045	0.065
11.6	0.011	0.014	0.020	0.025	0.033	0.042	0.061
12.0	0.010	0.013	0.018	0.023	0.031	0.040	0.058

1. У таблиці позначенено: b - ширина або діаметр фундаменту, l - довжина фундаменту. 2. Для фундаментів, що мають підошву у формі правильного багатокутника з площею A , значення α приймають як для круглих фундаментів радіусом $r = \sqrt{A/\pi}$. 3. Для проміжних значень ξ і η коефіцієнт α визначають інтерполяцією.

Таблиця 11 (табл. И.1 ДБН В.2.1-10-2009)

Границно допустимі деформації основи

Споруди	Границні деформації основи		
	Відносна різниця осідань $(\Delta s/L)_u$	Крен i_u	Середні \bar{s}_u (у дужках максимальні s_{max}) осідання, см
1. Виробничі і цивільні одноповерхові і багатоповерхові будинки з повним каркасом: залізобетонним	0,002	-	(10)
$te\ same,$ з улаштуванням залізобетонних поясів або монолітних перекріттів, а також будівель монолітної конструкції:	0,003	-	(15)
сталевим	0,004	-	(15)
$te\ same,$ з улаштуванням залізобетонних поясів або монолітних перекріттів	0,005	-	(18)
2. Будинки і споруди, у конструкціях яких не виникають зусилля від нерівномірних осідань	0,006	-	(20)
3. Багатоповерхові безкаркасні будинки з несучими стінами з:			
крупних блоків чи цегляної кладки без армування	0,0016	0,005	12
$te\ same,$ з армуванням, у тому числі з улаштуванням залізобетонних поясів або монолітних перекріттів, а також будівель монолітної конструкції	0,0020	0,005	12
4. Споруди елеваторів із залізобетонних конструкцій:			
робочим будинком і силосний корпус монолітної конструкції на од-	-	0,003	40
$te\ same,$ збірної конструкції:	-	0,003	30
окрім розташованій силосний корпус монолітної конструкції:	-	0,004	40
$te\ same,$ збірної конструкції:	-	0,004	30
окрім розташованій робочий будинок	-	0,004	25
5. Димарі заввишки H , м:			
$H \leq 100$	-	0,005	40
$100 < H \leq 200$	-	$1/(2H)$	30
$200 < H \leq 300$	-	$1/(2H)$	20
$H > 300$	-	$1/(2H)$	10
6. Жорсткі споруди заввишки до 100 м, крім зазначених у п. 4 і 5	-	0,004	20
7. Антенні споруди зв'язку:			
стовбури цігол заземлені:	-	0,002	20
$te\ same,$ електрично ізольовані:	-	0,001	10
вежі радіо:	0,002	-	-
вежі короткохвильових радіостанцій:	0,0025	-	-
вежі (окрім блоків)	0,001	-	-
8. Опори повітряних ліній електропередачі:			
проміжні прямі	0,003	0,003	-
анкерні й анкерно-кутovі, проміжні кутові, кінцеві, портала відкритих розподільчих пристрій	0,0025	0,0025	-
спеціальні перехідні	0,002	0,002	-

1. Границні значення відносного прогину будинків, зазначені у поз. 3, приймають 0,5 $(\Delta s/L)_u$, а відносного вигину - 0,25 - $(\Delta s/L)_u$. 2. При визначенні відносної різниці осідань $(\Delta s/L)$ у поз. 8 за L приймають відстань між осіми блоків фундаментів у напрямку горизонтальних навантажень, а в опорах з відтяжками - відстань між осіми стиснутого фундаменту й анкера. 3. Якщо основа складена горизонтальними (з ухилом не більше 0,1), витриманими по товщині шарами ґрунтів, границні значення максимальних і середніх осідань допускається збільшувати на 20 %. 4. Границні значення підйому основи, складеної набухаочими ґрунтами, допускається приймати: максимальний і середній підйом у розмірі 25 % і відносну різницю осідань у розмірі 50 % відповідних границніх значень деформацій, наведених у даному додатку, а відносний вигин - в розмірі 0,25 $(\Delta s/L)_u$. 5. Для споруд, переврахованих у поз. 1-3, з фундаментами у вигляді суцільних плит границні значення середніх осідань допускається збільшувати в 1,5 рази. 6. На основі узагальнення досвіду проектування, будівництва й експлуатації окремих видів споруд допускається приймати границні значення деформацій основи такими, що відрізняються від зазначених у даному додатку.

Приклад 5. Визначити осідання фундаментів, які запроектовані в прикладі 2.

Розрахунки осідань фундаментів будемо вести методом пошарового підсумовування.

Стрічковий фундамент по осі 8. Визначаємо вихідні дані:

- тиск на рівні підошви фундаменту

$$p=238,0 \text{ кПа} < R=255,3 \text{ кПа};$$

- додаткові напруження в ґрунті на рівні підошви фундаменту

$$p_0=p-\sigma_{zg0}=238,0-17,2 \cdot 2,4=196,7 \text{ кПа};$$

- товщина розрахункового шару

$$h_i=0,4b=0,4 \cdot 0,8=0,32 \text{ м};$$

- питома вага ґрунту з урахуванням зважуючої дії води (для шарів, які знаходяться нижче рівня ґрунтових вод)

$$\text{для ПГЕ-4 } \gamma_{sw} = \frac{(\rho_s - \rho_w)g}{1+e} = \frac{(2,65-1,0)9,81}{1+0,78} = 10,21 \text{ кН/м}^3$$

Подальші розрахунки ведемо в табличній формі (див. табл. 12).

Стовпчастий фундамент на перетині осей А і З. Визначаємо вихідні дані:

- тиск на рівні підошви фундаменту

$$p = \frac{N_{II}}{A} + \bar{\gamma}d = \frac{895,53}{8,91} + 20 \cdot 1,5 = 130,5 \text{ кПа} < R=250,6 \text{ кПа}$$

- додаткові напруження в ґрунті на рівні підошви фундаменту

$$p_0=130,5-17,2 \cdot 1,5=104,7 \text{ кПа};$$

- товщина розрахункового шару $h_i=0,4b=0,4 \cdot 2,7=1,08 \text{ м}$.

Подальші розрахунки ведемо в табличній формі (див. табл. 13).

Таблиця 12

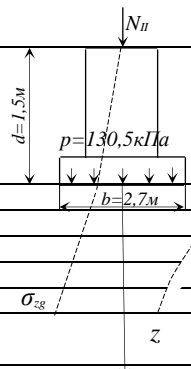
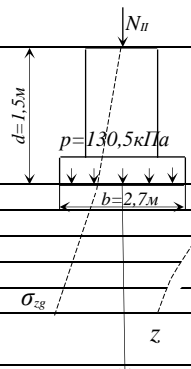
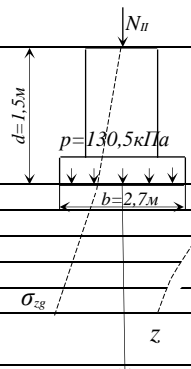
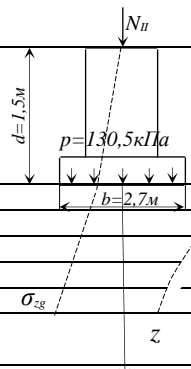
До розрахунку осідання стрічкового фундаменту по осі “8”

№ ІГЕ	Назва ІГЕ	Товщина ІГЕ, м	γ , kN/m^3	E , kPa			h_i , м	$\sigma_{zg} = \sum \gamma_i h_i$, kPa	z_i , м	$\xi = 2z/b$	a_i	$\sigma_{zp} = a_i p_0$, kPa	$\sigma_{zp,i}$, kPa	S_i , см	
ІГЕ-2	Супісок твёрдий	4,7	17,2	20000			2,40	41,28	0,00	0,00	1,000	104,7	----	----	
		19,5	19,5				0,32	47,52	0,32	0,80	0,881	173,29	185,00	0,24	
							0,32	53,76	0,64	1,60	0,642	126,28	149,79	0,19	
							0,32	60,00	0,96	2,40	0,477	93,83	110,05	0,14	
							0,32	66,24	1,28	3,20	0,374	73,57	83,70	0,11	
							0,32	72,48	1,60	4,00	0,306	60,19	66,88	0,09	
							0,32	78,72	1,92	4,80	0,264	51,93	56,06	0,07	
							0,32	84,96	2,24	5,60	0,258	50,75	51,34	0,07	
							0,06	86,13	2,30	5,75	0,223	43,86	47,31	0,01	
							0,26	91,20	2,56	6,40	0,196	38,55	41,21	0,03	
							0,32	97,44	2,88	7,20	0,175	34,42	36,49	0,04	
ІГЕ-3	Суглинок твёрдий	6,3	19,5	25000			0,32	103,68	3,20	8,00	0,158	31,08	32,75	0,03	
							0,32	109,92	3,52	8,80	0,143	28,13	29,60	0,03	
							0,32	116,16	3,84	9,60	0,132	25,96	27,05	0,03	
							BC	0,32	122,40	4,16	10,40	0,122	24,00	24,98	0,03
												Σ	1,11		

Сумарне осідання фундаменту становить $S=1,1cm$, що менше гранично допустимої величини $S_u=10cm$.

Таблиця 13

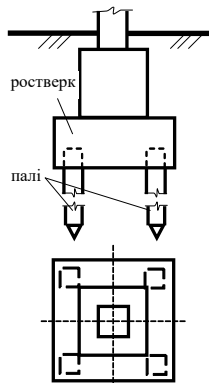
До розрахунку осідання стовпчастого фундаменту на перетині осей А і З

№ ПГЕ	Назва ПГЕ	Товщина ПГЕ, м	γ , kH/m^3	E , kPa		h_i , м	$\sigma_{zg} = \sum \gamma_i h_i$, kPa	z_i , м	$\xi = 2z/b$	α_i	$\sigma_{zp} = \alpha_i p_0$, kPa	σ_{zpi} , kPa	h_i , м
ПГЕ-2	Супісок твердий	4,7	17,2			1,50	25,80	0,00	0,00	1,000	104,7	-----	-----
						1,08	46,86	1,08	0,8	0,8267	86,56	95,63	0,41
			19,5	20000		1,08	67,92	2,16	1,6	0,4951	51,84	69,20	0,30
						1,04	88,2	3,2	2,37	0,2951	30,90	41,37	0,17
ПГЕ-3	Суглинок твердий	6,3	19,5	25000		0,04	88,98	3,24	2,4	0,2948	30,87	30,89	0,00
						1,08	110,04	4,32	3,2	0,1878	19,66	25,27	0,11
						Σ	0,99						

Сумарне осідання фундаменту становить $S=0,99\text{cm}$, що менше гранично допустимої величини $S_u=10\text{cm}$.

2. ПАЛЬОВІ ФУНДАМЕНТИ

2.1. Проектування пальових фундаментів



Rис. 14. Конструкція пальового фундамента

Пальові фундаменти складаються з палі і ростверків (рис.14). *Ростверк* – це збірна чи монолітна, як правило, залізобетонна конструкція, яка забезпечує передачу і рівномірний розподіл навантаження від надземних конструкцій на палі. *Палі* – це довгі стрижні, які занурюються в ґрунт у готовому вигляді або виготовляються безпосередньо в ґрунті і передають навантаження від споруди на розміщені нижче шари ґрунтів.

За конструктивними особливостями палі бувають: *забивні* – занурюються в ґрунт без його виїмки за допомогою молотів, втискуючих домкратів, або віброзанурювачів, а також палі-оболонки, які занурюються в ґрунт віброзанурювачами без виїмки чи з частковою виїмкою ґрунту і не заповнюються бетонною сумішшю; *палі-оболонки* – порожнисті елементи, які занурюються в ґрунт за допомогою віброзанурювачів з виїмкою ґрунту і заповнюються частково чи повністю бетонною сумішшю; *набивні* – виготовляють шляхом бетонування свердловин, утворених примусовим відтисненням ґрунту в сторони; *бурові* – виготовляють шляхом бетонування пробурених свердловин, або монтують у свердловинах готові залізобетонні елементи; *гвинтові* – загвинчуються в ґрунт за допомогою спеціальних установок.

В даних методичних вказівках, розглянута детально лише конструкція забивних паль.

Згідно з прийнятою класифікацією (ДСТУ Б В.2.6-65:2008) забивні палі поділяються на наступні типи: ПН – цільні, суцільного квадратного перерізу з поперечним армуванням стовбура, з напружену арматурою; ПП та ППН – квадратного перерізу з круглою порожниною, цільні, з напружену та ненапружену арматурою; ПЦ – квадратного суцільного перерізу, цільні, без поперечного армування стовбура, з напружену арматурою у центрі палі.

Палі позначають марками відповідно до вимог ДСТУ Б

B.2.6-65:2008. Марка палі складається з літерно-цифрових груп, розділених дефісами.

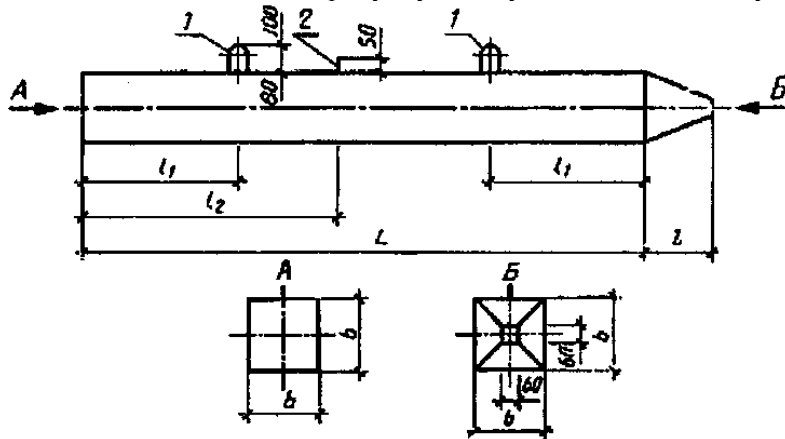
У першій групі зазначають тип палі, вид її арматури (без позначки – стрижні; др – дріт; к – канати), довжину у дециметрах і розміри грані перерізу у сантиметрах.

У другій групі зазначають: для попередньо напруженних паль – клас напруженої арматурної сталі; для паль з ненапружену арматурою – порядковий номер варіанта армування згідно з робочими кресленнями.

У третій групі зазначають: для складеної палі – тип стику, який позначається рядковими літерами: б – болтовий стик, з – зварний стик; для паль усіх типів (за необхідністю) цифрами позначають додаткові характеристики, що відображають особливі умови застосування або конструктивні особливості.

Наприклад, ПН90.30-Ат800 – цільна призматична паля довжиною 9 м з стороною поперечного перерізу 30 см з напружену арматурою класу Ат800; ПНдр90.30-ВрІ – те саме, з армуванням дротом Вр-І.

Форма, марки і номінальні розміри паль типу ПН повинні відповідати зазначенним на рисунку 15 та у таблиці 29 додатку.



Rис. 15. Палі типу ПН із суцільним квадратним перерізом, з поперечним армуванням стовбура з напружену поздовжньою арматурою: 1 – підіймальні петлі; 2 – штир фіксації місця стропування під час підймання на копер.

За умовами роботи в ґрунти всі палі поділяються на палі-стояки та висячі палі. До паль-стояків відносять палі, що передають навантаження нижнім кінцем на практично нестисливі ґрунти (скельні і напівскельні ґрунти, а також глини твердої консистенції у водонасиченому стані ($I_L < 0$; $S_r > 0,85$) з модулем деформації $E \geq 50 \text{ MPa}$). Сили тертя на бічній поверхні таких паль у процесі їх роботи не виникають. *Висячі палі* опираються на стисливі ґрунти – опір ґрунту розвивається як під нижнім кінцем палі, так і на її бічній поверхні.

У загальному випадку проектування пальових фундаментів виконують у такій послідовності:

1. Визначають вид паль (забивні, бурові). При цьому враховують характер та величину навантажень, інженерно-геологічні умови будівельної ділянки, можливості будівельних організацій, економічні показники та інші фактори.
2. Визначають глибину закладення ростверка. При цьому враховують призначення та конструктивні особливості будівлі, інженерно-геологічні умови будівельної ділянки, глибину сезонного промерзання ґрунтів, тощо.

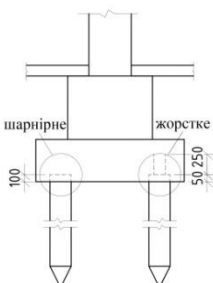


Рис. 16. З'єднання палі з ростверком.

є надійнішим і, зокрема, є обов'язковим для позацентрово завантажених фундаментів).

4. Приймають спосіб занурення паль в ґрунт (для забивних паль – за допомогою молотів, втискуючих домкратів, або віброзанурювачів).

5. Попередньо визначають розміри паль. Палі повинні прорізати ненадійні ґрунти і вартість фундаментів має бути мінімальною. Для цього визначають вартість фундаментів з паль різних розмірів. Довжину вибирають так, щоб палі заглиблювались не менше 0,5 м у великоуламкові ґрунти, гравіюваті, крупні й середньої крупності піщані і глинисті ґрунти з показником текучості $I_L \leq 0,1$; для решти ґрунтів – 1,0 м.

6. Визначають несучу здатність паль F_d (див. п. 2.2).
7. Визначають навантаження P , допустиме на палю. В розрахунках приймають менше з визначених навантажень: за властивостями ґрунту – за формулою (32) і за властивостями матеріалу палі (орієнтовні розрахункові навантаження, допустимі на палю за міцністю її стовбура становлять: $30 \times 30\text{см} - 1000\text{kN}$; $35 \times 35\text{см} - 1850\text{kN}$; $40 \times 40\text{см} - 2000\text{kN}$). При розрахунку паль всіх видів як на втискаючі, так і на висмикуючі навантаження поздовжнє зусилля, яке виникає в палі від розрахункового навантаження, варто визначати з урахуванням власної ваги палі, яка приймається з коефіцієнтом надійності за навантаженням, що збільшує розрахункове зусилля (примітка 2 до п. 8.5.2.24 ДБН В.2.1-10-2009, зміна 1).

8. Визначають кількість паль:

- для кущових фундаментів за формулою

$$n = \frac{N_I}{P}, \quad (27)$$

- максимально допустима розрахункова відстань між осями сусідніх забивних паль стрічкового фундаменту становить

$$l_{\max} = \frac{P - G_{nI}}{n_I + G_{pI}}, \quad (28)$$

де n_I , G_{nI} , G_{pI} – відповідно погонне навантаження, вага палі, вага $1m/n$ ростверка і ґрунту на його обрізах.

9. Виконують конструкування фундаментів. Пальові фундаменти залежно від розміщення паль у плані проектиують у вигляді: пальових смуг – під стіни будівель; пальових кущів – під колони; суцільного пальового поля – під всією будівлею чи спорудою.

Мінімальна кількість паль у кущі, зазвичай, становить: у центрально навантаженому фундаменті – 1; у позацентрово навантаженому фундаменті в одній площині – 2; у позацентрово навантаженому фундаменті в двох площинах – 3.

Відстань між осями забивних висячих паль повинна бути не меншою $3d$ (d – діаметр круглого, або сторона квадратного поперечного перерізу, або більша сторона прямокутного поперечного перерізу палі), а між осями паль-стояків – не меншою $1,5d$. Чиста відстань між стовбурами бурівих, набивних паль і паль-оболонок приймається не менше $1,0\text{ m}$, а відстань між розширенням таких паль у твердих та напівтвердих глинистих ґрунтах – $0,5\text{ m}$, в інших нескельких ґрунтах – $1,0\text{ m}$.

Оптимальна конструктивна відстань між осями сусідніх

паль у стрічковому фундаменті зумовлена несучою здатністю ростверку і становить приблизно $6d$.

Якщо максимальна розрахункова відстань між осями сусідніх паль у стрічковому фундаменті менша мінімально допустимої, то палі розташовують у два і більше рядів. Якщо максимальна розрахункова відстань більша оптимальної конструктивної, то палі розміщують з урахуванням останньої. Потім виконують розстановку паль у плані таким чином, щоб фактична відстань між ними не перевищувала максимальну розрахункову і оптимальну конструктивну і була не меншою за мінімальну конструктивну. В першу чергу розміщують палі в місцях, де ростверки перетинаються між собою.

Після розміщення паль у плані перевіряють фактичне завантаження паль за формулами:

- для стрічкових фундаментів

$$N = n_I + G_{pI} + G_{nI} \leq P, \quad (29)$$

- для стовпчастих центрально завантажених фундаментів

$$N = G_{nI} + \frac{N_I + G_{pI}}{n} \leq P, \quad (30)$$

- для стовпчастих позацентрово завантажених в одній площині фундаментів

$$\left. \begin{aligned} N &= G_{nI} + \frac{N_I + G_{pI}}{n} \leq P \\ N_{\max} &= G_{nI} + \frac{N_I + G_{pI}}{n} + \frac{(M_I + Q_I h)x_{\max}}{\sum x_i^2} \leq P \\ N_{\min} &= G_{nI} + \frac{N_I + G_{pI}}{n} - \frac{(M_I + Q_I h)x_{\max}}{\sum x_i^2} \geq 0 \end{aligned} \right\}, \quad (31)$$

де N_{\max} , N_{\min} – максимальне і мінімальне навантаження на крайні палі; G_{pI} – вага ростверка та ґрунту на його обрізах; G_{nI} – вага палі;

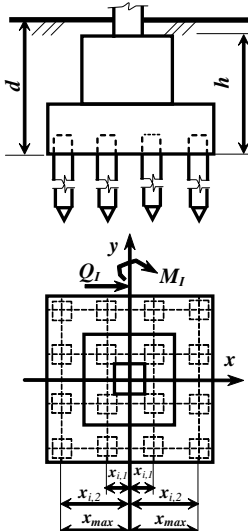


Рис. 17. Розрахункова схема пальового фундамента

x_{max} – відстань від головної осі до осі найбільш віддаленої палі (рис.17); x_i – відстань від головної осі до осі кожної палі; M_I, Q_I – момент і горизонтальна складова зовнішніх сил на рівні обрізу фундаменту відносно (у напрямку) відповідної осі; h – відстань від підошви ростверка до його обрізу.

Перевантаження крайніх паль в кущі на 20% від навантаження, допустимого на них, можливе при розрахунках фундаментів із врахуванням вітрових та кранових навантажень (при цьому величина кранових навантажень повинна становити більше 30% сумарних навантажень на фундамент), тобто $N_{max} \leq 1,2P$. Якщо $N_{min} < 0$, то додатково проводять розрахунки паль на дію висмикуючих навантажень.

10. Проводять розрахунки фундаментів за деформаціями.

11. Для забивних паль підбирають механізм для занурення палі в ґрунт (як правило, дизель-молот).

12. Розраховують ростверк і палю як конструкцію.

2.2. Визначення несучої здатності паль на дію вертикальних навантажень

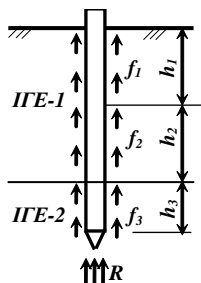
В процесі збільшення вертикальних навантажень на палю може відбутися руйнування її матеріалу або втрата несучої здатності ґрунту (випирання ґрунту з-під нижнього кінця палі та подолання сил тертя на її бічній поверхні). Тому розрізняють *несучу здатність матеріалу паль та ґрунту*. Як правило, несуча здатність пальових фундаментів вичерpuється при незначних деформаціях. Тому розрахунок таких фундаментів за несучою здатністю є основним, а за деформаціями – перевірочним.

Допустиме навантаження на палю (за властивостями ґрунту) визначають з умови

$$P = \frac{F_d}{\gamma_k}, \quad (32)$$

де F_d – несуча здатність палі за властивостями ґрунту (граничний опір ґрунту основи заглибленню палі); γ_k – коефіцієнт надійності (приймається залежно від методу визначення несучої здатності палі).

Для визначення несучої здатності паль F_d застосовують такі методи: формули ДБН В.2.1-10-2009, зміна 1; статичні і динамічні випробування паль натурних розмірів; статичне зондування; статичні випробування інвентарних паль.



Rис. 18. Розрахункові опори ґрунту

В даних методичних вказівках, розглянуто детально лише формули ДБН В.2.1-10-2009 “Основи та фундаменти споруд”, зміна 1.

Формули ДБН В.2.1-10-2009, зміна 1.

Несуча здатність паль-стояків зумовлена лише опором ґрунту під нижнім кінцем палі і розраховується за формулою

$$F_d = \gamma_c R A \quad (33)$$

У формулі (33) R – розрахунковий опір ґрунту під нижнім кінцем палі, який приймається для всіх видів забивних паль рівним 20000 кПа.

Несуча здатність висячих паль складається з несучої здатності ґрунту під нижнім кінцем палі та несучої здатності ґрунту на її бічній поверхні (рис. 18) й визначається за формулою

$$F_d = \gamma_c (\gamma_{cR} R A + u \sum \gamma_{cf_i} f_i h_i) \quad (34)$$

Несуча здатність паль на дію висмикуючих навантажень F_{du} визначається за формулою

$$F_{du} = \gamma_c u \sum \gamma_{cf_i} f_i h_i \quad (35)$$

У (33)-(35) прийняті позначення: γ_c – коефіцієнт умов роботи палі в ґрунті (приймається рівним 1); A – площа поперечного перерізу нижнього кінця палі; R – розрахунковий опір ґрунту під нижнім кінцем палі (визначається з табл. 14); u – зовнішній периметр поперечного перерізу палі; f_i – розрахунковий опір i -го шару ґрунту основи на бічній поверхні палі (визначається з табл. 15); h_i – товщина i -го розрахункового шару ґрунту (приймається не більшою 2м); γ_{cR} , γ_{cf_i} – коефіцієнти умов роботи ґрунту, відповідно під нижнім кінцем і на бічній поверхні палі (визначаються з табл. 16).

Таблиця 14 (табл. Н.2.1 ДБН В.2.1-10-2009, зміна 1)

Розрахунковий опір ґрунту під нижнім кінцем палі

Глибина занурення нижнього кінця палі, м	Розрахунковий опір під нижнім кінцем забивних паль і паль-оболонок, заглиблених без виймання ґрунту R , кПа						
	пісків середньої щільності						
	гравіюватих	крупних	---	середньої крупності	дрібних	пилуватих	---
	пилувато-глинистих ґрунтів з показником текучості I_L , що дорівнює						
	0	0,1	0,2	0,3	0,4	0,5	0,6
3	7500	<u>6600</u> 4000	3000	<u>3100</u> 2000	<u>2000</u> 1200	1100	600
4	8300	<u>6800</u> 5100	3800	<u>3200</u> 2500	<u>2100</u> 1600	1250	700
5	8800	<u>7000</u> 6000	4000	<u>3400</u> 2800	<u>2200</u> 2000	1300	800
7	9700	<u>7300</u> 6900	4300	<u>3700</u> 3300	<u>2400</u> 2200	1400	850
10	10500	<u>7700</u> 7300	5000	<u>4000</u> 3500	<u>2600</u> 2400	1500	900
15	11700	<u>8200</u> 7500	5600	<u>4400</u> 4000	2900	1650	1000
20	12600	8500	6200	<u>4800</u> 4500	3200	1800	1100
25	13400	9000	6800	5000	3500	1950	1200
30	14200	9500	7400	5600	3800	2100	1300
35	15000	10000	8000	6000	4100	2250	1400

1. Над рискою даються значення R для пісків, під рискою – для глинистих ґрунтів. **2.** В таблицях за-глиблення нижнього кінця палі і середню глибину розташування розрахункового шару ґрунту при розплануванні території зрізуванням, підсипкою, намиванням до 3 м слід прймати від рівня природного рельєфу, а при зрізуванні, підсипці, намиванні від 3 до 10 м - від умовної позначки розташованої відповідно на 3 м вище рівня зрізки, або на 3 м нижче рівня підсипки. **3.** Для проміжних заглиблень паль та проміжних значень показника текучості глинистих ґрунтів значення R і f_i в табл. 14 і 15 визначаються інтерполяцією. **4.** Для щільних пісків, ступінь щільності яких визначається за даними статичного зондування, значення R в табл. 14 для паль, заглиблених без використання підмиву або лідерних свердловин, слід збільшити на 100%. Якщо ступінь щільності ґрунту визначалася за даними інших видів інженерних досліджень при відсутності даних статичного зондування, то для щільних пісків значення R в табл. 14 слід збільшити на 60%, але не більше як до 20000 кПа. **5.** Значення розрахункового опору R під нижнім кінцем забивних паль з поперечним перерізом $0,15 \times 0,15$ м і менше, які використовуються у фундаментах внутрішніх перегородок одноповерхових виробничих будівель, допускається збільшувати на 20%. **6.** Для супісків з числом пластичності $I_p \leq 4$ та коефіцієнтом пористості $e \leq 0,8$ розрахункові опори R і f_i слід визначати як для пилуватих пісків середньої щільності.

Таблиця 15 (табл. Н.2.2 ДБН В.2.1-10-2009, зміна 1)
Розрахунковий опір ґрунту на бічній поверхні палі

Середня глибина розта- шування шару ґрунту, <i>m</i>	Розрахунковий опір на бічній поверхні забивних паль <i>f_i</i> , кПа								
	пісків середньої цільності								
	крупних і середньої крупності	дріб- них	пилува- тих	---	---	---	---	---	---
пилувато-глинистих ґрунтів з показником текучості <i>I_L</i> , що дорівнює									
	≤ 0,2	0,3	0,4	0,5	0,6	0,7	0,8	0,9	1,0
1	35	23	15	12	8	4	4	3	2
2	42	30	21	17	12	7	5	4	4
3	48	35	25	20	14	8	7	6	5
4	53	38	27	22	16	9	8	7	5
5	56	40	29	24	17	10	8	7	6
6	58	42	31	25	18	10	8	7	6
8	62	44	33	26	19	10	8	7	6
10	65	46	34	27	19	10	8	7	6
15	72	51	38	28	20	11	8	7	6
20	79	56	41	30	20	12	8	7	6
25	86	61	44	32	20	12	8	7	6
30	93	66	47	34	21	12	9	8	7
35	100	70	50	36	22	13	9	8	7

1. При визначенні розрахункового опору ґрунту на бічній поверхні паль *f_i* з табл. 3 слід урахувати можливі примітки 2 і 3 до табл. 14. 2. При визначенні з табл. 15 розрахункових опорів ґрунтів на бічній поверхні паль *f_i* верстви ґрунту слід розслідувати на однорідні шари товщиною не більше 2 м. 3. Значення розрахункового опору цільних пісків на бічній поверхні паль *f_i* слід збільшувати на 30% порівняно зі значеннями, наведеними в табл. 3. 4. Розрахунковий опір супісок і суглинків з коєфіцієнтом пористості *e*≤0,5 і глин з коєфіцієнтом пористості *e*≤0,6 слід збільшувати на 15% порівняно зі значеннями, наведеними в табл. 15, при будь-яких значеннях показника текучості *I_L*.

Таблиця 16 (табл. Н.2.3 ДБН В.2.1-10-2009, зміна 1)

Коефіцієнти умов роботи ґрунту γ_{cR} , γ_{cf}

Способи заглиблення забивних паль і паль-оболонок, заглиблених без вимання ґрунту і види ґрунтів	Коефіцієнти умов роботи ґрунту при визначенні несучої здатності паль	
	під нижнім кінцем	на бічній поверхні
1. Заглиблення суцільніх і порожнистих із закритим нижнім кінцем паль механічними пароповітряними і дизельними молотами	1,0	1,0
2. Заглиблення забиванням і втискуванням в поперець пробурені лідерні свердловини з заглибленням кінців паль не менше як 1 м нижче вибою свердловини при її діаметрі:		
а) що дорівнює стороні квадратної палі	1,0	0,5
б) на 0,05 м менше сторони квадратної палі	1,0	0,6
в) на 0,15 м менше сторони квадратної палі або діаметра палі круглого перерізу (для опор ліній електропередачі)	1,0	1,0
3. Заглиблення з підмивом в піску при умові, що палі будуть добиті на останньому етапі заглиблення без застосування підмиву на 1 м і більше	1,0	0,9

продовження табл. 16

4. Віброзаглиблення паль-оболонок, віброзаглиблення і вібротиснення в ґрунти: а) <i>піски середньої щільності: крупні і середньої крупності</i>	1,2	1,0
<i>дрібні</i>	1,1	1,0
<i>пилуваті</i>	1,0	1,0
<i>б) глинисті з показником текучості $I_L = 0,5$: супіски</i>	0,9	0,9
<i>суглинки</i>	0,8	0,9
<i>глини</i>	0,7	0,9
<i>в) глинисті з показником текучості $I_L \leq 0$</i>	1,0	1,0
5. Заглиблення молотами будь-якої конструкції порожнистих залізобетонних паль з відкритим нижнім кінцем:		
<i>а) при діаметрі пустоти палі 0,4 м і менше</i>	1,0	1,0
<i>б) че ж, від 0,4 до 0,8 м</i>	0,7	1,0
6. Заглиблення будь-яким способом порожнистих паль круглого перерізу із закритим нижнім кінцем на глибину 10 м і більше з наступним влаштуванням нижньому кінці комуфлетного розширення в пісках середньої щільності і в глинистих ґрунтах з показником текучості $I_L < 0,5$ при діаметрі розширення рівному: а) 1,0 м незалежно від вказаних видів ґрунтів	0,9	1,0
<i>б) 1,5 м в пісках і супісках</i>	0,8	1,0
<i>в) 1,5 м в суглинках і глинах</i>	0,7	1,0
7. Заглиблення втисненням паль:		
<i>а) в пісках середньої щільності крупні, середньої крупності і дрібні</i>	1,1	1,0
<i>б) в пісках пилуваті</i>	1,1	0,8
<i>в) в глинисті ґрунти з показником текучості $I_L < 0,5$</i>	1,1	1,0
<i>г) че ж, $I_L \geq 0,5$</i>	1,0	1,0

Коефіцієнти γ_c і γ_f в п.4 табл. 16 для глинистих ґрунтів з показником текучості $0,5 > I_L > 0$ визначаються інтерполяцією.

2.3. Пальові фундаменти в просідаючих ґрунтах

В усіх випадках палі повинні прорізати просідаючі ґрунти і заглиблюватись в скельні, піщані (крім пухких) чи глинисті ґрунти

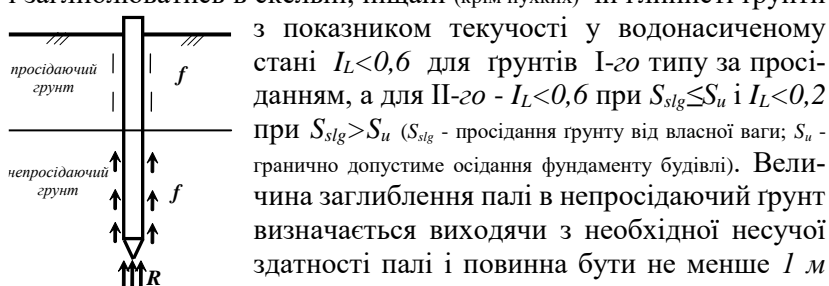


Рис. 19. До розрахунку несучої здатності палі в ґрутових умовах I-го типу за просіданням

Несуча здатність паль в ґрутових умовах

I-го типу за просіданням (рис. 19) визначається з умови, що

такі ґрунти зменшують несучу здатність при замочуванні. Значення опору ґрунту на бічній поверхні паль (f) в межах просідаючої товщі при можливому замочуванні визначається як для зволоженого ґрунту при показнику текучості, розрахованому за формулою

$$I'_L = \frac{0,9e\gamma_w/\gamma_s - W_p}{W_L - W_p} \quad (36)$$

Якщо визначене за (36) значення $I'_L < 0,4$, то приймають $I_L = 0,4$.

В процесі просідання ґрунтів в ґрунтових умовах II-го типу за просіданням на бічній поверхні паль виникає негативне тертя (рис. 20), яке створює додаткове навантаження, тому розрахунок виконують виходячи з умови

$$P = \frac{F_d}{\gamma_k} - \gamma_c P_n, \quad (37)$$

де F_d – несуча здатність палі, що визначається на глибині, де діє позитивне тертя; γ_k – коефіцієнт надійності; γ_c – коефіцієнт умов роботи: при $S_{slg}=5\text{ cm}$ $\gamma_c=0$; при $S_{slg}\geq 2S_u$ $\gamma_c=0,8$ (для проміжних значень γ_c визначається інтерполяцією); P_n – сила негативного тертя, яка визначається за формулою

$$P_n = u \sum_0^{h_{sl}} \tau_i h_i, \quad (38)$$

де u – периметр палі; h_{sl} – глибина, в межах якої діє сила негативного тертя (приймається рівною глибині, де значення просідання ґрунту від власної ваги дорівнює 5 см); h_i – товщина i -го шару ґрунту (в межах, де проявляється негативне тертя); τ_i – розрахунковий опір ґрунту, визначається до глибини 6 м за формулою

$$\tau_i = \xi \sigma_{zg} \operatorname{tg} \varphi_I + c_I, \quad (39)$$

а нижче приймається постійним.

Тут $\xi=0,7$ – коефіцієнт бічного тиску; σ_{zg} – напруження від власної ваги замоченого ґрунту; φ_I , c_I – кут внутрішнього тертя і питоме зчеплення ґрунту (в межах h_{sl}).

В курсових проектах при визначенні несучої здатності

паль в ґрунтових умовах I-го типу за просіданням допускається опір ґрунту на бічній поверхні палі в межах просідаючої товщі приймати рівним нулю. Також допускається силу негативного тертя визначати з урахуванням таблиці 3 за формулою

$$P_n = u \sum_0^{h_{sl}} \gamma_{cf_i} f_i h_i \quad (40)$$

прийнявши h_{sl} рівною потужності просідаючої товщі.

Якщо просідання ґрунту від власної ваги перевищує 30 см, то передбачають попереднє замочування просідаючої товщі для переведення таких ґрунтів в I-й тип ґрунтових умов за просіданням.

Приклад 6. Визначити розрахунком навантаження P , допустиме на забивну залізобетонну палю **ПН110.30**, заглиблену дизель-молотом з дна котловану глибиною $h_k=2,6$ м. Інженерно-геологічні умови – варіант “ХУ” (див. приклад **МВ 03-03-031**).

Звичайні ґрунтові умови (умовно прийнято, що в основі немає просідаючих ґрунтів).

Навантаження P , допустиме на палю, виходячи з її несучої здатності по ґрунту, обчислюємо за формулою (32)

$$P = \frac{F_d}{\gamma_k} = \frac{1302,9}{1,4} = 930,6 \text{ кН},$$

де $\gamma_k=1,4$ (несучу здатність палі визначали розрахунком за формулами ДБН).

Несучу здатність палі F_d визначаємо за формулою (34)

$$P = \gamma_c (\gamma_{cR} RA + u \sum \gamma_{cf_i} f_i h_i) = 1,0(1,0 \cdot 5803 \cdot 0,09 + 1,2 \cdot 650,49) = 1302,9 \text{ кН}$$

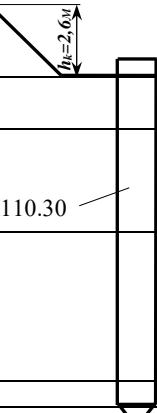
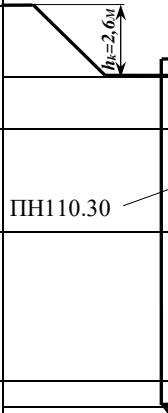
де $\gamma_c=1,0$; $A=0,3 \cdot 0,3=0,09 \text{ м}^2$; $u=4 \cdot 0,3=1,2 \text{ м}$; $\gamma_{cR}=1,0$ – (див табл. 16); $R=5803 \text{ кПа}$ визначене за інтерполяцією (див табл. 14).

Допоміжні розрахунки з визначення граничного опору ґрунту на бічній поверхні палі виконуємо у табличній формі (див. табл. 17).

Навантаження, допустиме на палю, виходячи з її несучої здатності по матеріалу, $P=1000 \text{ кН}$. В подальші розрахунки приймаємо менше з двох отриманих значень, тобто $P=930,6 \text{ кН}$.

Таблиця 17

До розрахунку несучої здатності палі

Назва ІГЕ	Товщина ІГЕ, м		Товщина розврахункового шару, h_i , м	Середня глибина залигання розврахункового шару, м	f_i , кПа	γ_{cfi}	$h_i f_i \gamma_{cfi}$, кПа·м
супісок твёрдий $I_L < 0$	4,70						
суглинок твёрдий $I_L < 0$	6,30		2,0	3,60	51,00	1,0	102,0
				0,1	4,65	54,95	1,0 5,5
			2,00	5,70	57,40	1,0	114,8
			2,00	7,70	61,40	1,0	122,8
			2,00	9,70	64,55	1,0	129,1
пісок се- редньої крупно- сті, серед- ньої щіль- ності	1,20		1,20	11,60	67,24	1,0	80,69
глина на- півтвърда $I_L=0,18$	2,30		1,10	12,75	68,85	1,0	75,74
						Σ	650,49

Просідаючі ґрунти. Тип ґрунтових умов за просіданням І-й (умовно прийнято, що в основі залягають просідаючі ґрунти, тип ґрунтових умов за просіданням І-й).

Навантаження P , допустиме на палі, виходячи з її несучої здатності по ґрунту, обчислюємо за формулою (32)

$$P = \frac{710}{1,4} = 507,1 \text{ кН},$$

де $\gamma_k = 1,4$ (несучу здатність палі визначали розрахунком за формулами ДБН).

Несучу здатність палі F_d на глибині, де діє позитивне тертя визначаємо за формулою (34)

$$F_d = 1,0(1,0 \cdot 5803 \cdot 0,09 + 1,2 \cdot 156,43) = 710,0 \text{ кН},$$

де $\gamma_c = 1,0$; $A = 0,3 \cdot 0,3 = 0,09 \text{ м}^2$; $u = 4 \cdot 0,3 = 1,2 \text{ м}$; $\gamma_{cR} = 1,0$ – (див табл. 16); $R = 5803 \text{ кПа}$ визначене за інтерполяцією (див табл. 14).

Оскільки з поверхні до глибини 11,0 м залягають глинисті ґрунти твердої консистенції, то для полегшення заглиблення палі крізь товщу цих ґрунтів та зменшення сил негативного тертя на бічній поверхні палі в межах просідаючої товщі влаштовуємо лідерні свердловини діаметром рівним стороні поперечного перерізу палі.

Значення опору ґрунту на бічній поверхні палі в межах

просідаючої товщі приймаємо рівним нулю (І-й тип ґрунтових умов за просіданням).

Допоміжні розрахунки з визначення граничного опору ґрунту на бічній поверхні палі виконуємо в табличній формі (див. табл. 18).

Навантаження, допустиме на палю, виходячи з її несучої здатності по матеріалу, $P=1000\text{kH}$. В подальші розрахунки приймаємо менше з двох отриманих значень, тобто $P=507,1\text{kH}$.

Таблиця 18
До розрахунку несучої здатності палі

Назва ІГЕ	Товщина ІГЕ, м		Товщина розрахункового шару, h_i , м	Середня глибина залягання розрахунково-го шару, m	f_i , кПа	γ_{cfi}	$h_i f_i \gamma_{cfi}$, кПа·м
супісок твердий $I_L < 0$	4,70						
			2,0	3,60	0	0,5	0
			0,1	4,65	0	0,5	0
суглинок твердий $I_L < 0$	6,30						
			2,00	5,70	0	0,5	0
			2,00	7,70	0	0,5	0
			2,00	9,70	0	0,5	0
			0,30	10,85	0	0,5	0
пісок середньої крупності, середньої щільності	1,20			1,20	11,60	67,2 4	1,0 80,69
глина напівтврда $I_L = 0,18$	2,30			1,10	12,75	68,8 5	1,0 75,74
						Σ	156,4 3

Просідаючі ґрунти. Тип ґрунтових умов за просіданням ІІ-й. Навантаження P , допустиме на палю, виходячи з її несучої здатності по ґрунту, обчислюємо за формулою (37)

$$P = \frac{F_d}{\gamma_k} - \gamma_c P_n = \frac{710}{1,4} - 0,155 \cdot 296,4 = 461,2\text{kH}$$

де $\gamma_k = 1,4$ (несучу здатність палі визначали розрахунком за формулами ДБН), сила негативного тертя $P_n = 1,2 \cdot 247,03 = 296,4\text{kH}$; $\gamma_c = 0,155$ – визначене за інтерполяцією за умов $S_{slg} = 7,9\text{ см}$, $S_u = 10\text{ см}$.

Несучу здатність палі F_d на глибині, де діє позитивне тертя, визначаємо за формулою (34)

$$F_d = 1,0(1,0 \cdot 5803 \cdot 0,09 + 1,2 \cdot 156,43) = 710,0 \text{кН}$$

де $\gamma_c = 1,0$; $A = 0,3 \cdot 0,3 = 0,09 \text{м}^2$; $u = 4 \cdot 0,3 = 1,2 \text{м}$; $\gamma_{cR} = 1,0$ – (див табл. 16); $R = 5803 \text{ кПа}$ визначене за інтерполяцією (див табл. 14).

Оскільки з поверхні до глибини 11,0 м залягають глинисті ґрунти твердої консистенції, то для полегшення заглиблення палі крізь товщу цих ґрунтів та зменшення сил негативного тертя на бічній поверхні палі в межах просідаючої товщі влаштовуємо лідерні свердловини діаметром рівним стороні поперечного перерізу палі.

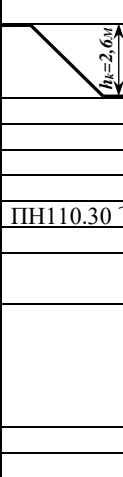
Значення опору ґрунту на бічній поверхні палі в межах просідаючої товщі приймаємо з від'ємним знаком (ІІ-й тип ґрутових умов за просіданням).

Допоміжні розрахунки з визначення граничного опору ґрунту на бічній поверхні палі виконуємо в табличній формі (див. табл. 19).

Навантаження, допустиме на палю, виходячи з її несучої здатності по матеріалу $P = 1000 \text{kH}$. В подальші розрахунки приймаємо менше з двох отриманих значень, тобто $P = 461,2 \text{kH}$.

Таблиця 19

До розрахунку несучої здатності палі

Назва ІГЕ	Тов- щина ІГЕ, м		Товщина розрахун- кового шару, h_i , м	Середня глибина заля- гання розра- хунково-го шару, м	f_i , кПа	γ_{cf}	$h_i f_i \gamma_{cf}$, кПа·м
супісок тве- рдий $I_L < 0$	4,70		2,0	3,60	-51,00	0,5	-51,00
			0,1	4,65	-54,95	0,5	-2,75
суглинок твердий $I_L < 0$	6,30		2,00	5,70	-57,40	0,5	-57,40
			2,00	7,70	-61,40	0,5	-61,40
		ПН110.30	2,00	9,70	-64,55	0,5	-64,55
			0,30	10,85	-66,19	0,5	-9,93
						Σ	- 247,03
пісок серед- ньої крупно- сті, серед- ньої щільно- сті	1,20			1,20	11,60	67,24	1,0 80,69
глина напів- твєрда $I_L = 0,18$	2,30			1,10	12,75	68,85	1,0 Σ 75,74 156,43

2.4. Підбір кількості паль

Приклад 7. Визначити відстань між осями сусідніх забивних паль стрічкових фундаментів по осі 8 та кількість паль стовпчастих фундаментів на перетині осей А і З будівлі, конструктивна схема якої наведена до прикладу в МВ 03-03-88М в інженерно-геологічних умовах варіанта “ХУ” (див. приклад МВ 03-03-031).

Навантаження P , допустиме на палю, приймаємо рівним $P=461,2\text{kN}$ (див. приклад 6).

Стрічковий фундамент по осі 8. Навантаження на рівні планувальної відмітки $n_I=182,6\text{H/m}$ – прийнято з табл. 6 МВ 03-03-88М.

Максимально допустиму розрахункову відстань між осями сусідніх забивних паль в стрічковому фундаменті визначаємо за формулою (28)

$$l_{\max} = \frac{P - G_{nI}}{n_I + G_{pI}} = \frac{461,2 - 26,5}{182,6 + 34,6} = 2,0\text{m}$$

де $G_{nI}=0,3 \cdot 0,3 \cdot (11-0,3) \cdot 25 \cdot 1,1 = 26,5\text{kN}$ – вага палі;

$G_{pI}=0,5 \cdot 0,5 \cdot 1,0 \cdot 25 \cdot 1,1 + 0,5 \cdot (2,7-0,6) \cdot 1,0 \cdot 24 \cdot 1,1 = 34,6\text{kN/m}$ – вага 1м/п ростверку і фундаментних блоків.

Мінімальна конструктивна відстань між осями сусідніх забивних висячих паль становить $l_{min}=3d=3 \cdot 0,3=0,9\text{m}$. Оптимальна конструктивна відстань між осями сусідніх паль у стрічковому фундаменті становить $l_{opr} \approx 6d=6 \cdot 0,3=1,8\text{m}$. Розстановку паль у ростверку стрічкового фундаменту виконуємо з урахуванням отриманих величин відстаней.

Стовпчастий фундамент на перетині осей А і З. Навантаження на рівні обрізу фундаменту: $N_I=999,5\text{kN}$; $Q_I=75,11\text{kN}$; $M_I=1072,57\text{kH}\cdot\text{m}$ – прийнято з МВ 03-03-88М сторінка 77.

Кількість паль n для сприйняття навантаження N_I визначаємо за формулою (27)

$$n = \frac{N_I}{P} = \frac{999,5}{461,2} = 2,2 \text{ шт.}$$

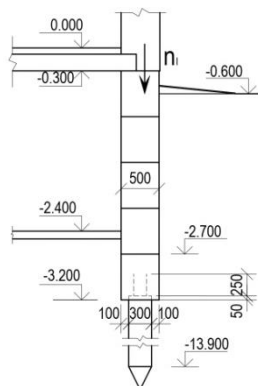


Рис. 21. Конструкція фундаменту по осі 8

Приймаємо 3 палі, розставляємо їх в ростверку, конструюємо його (рис. 22) і перевіряємо виконання *першої* умови виразу (31)

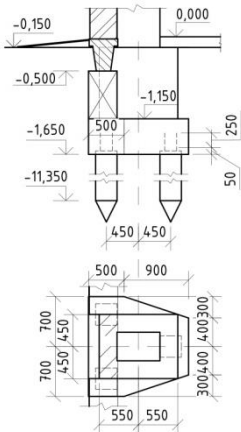


Рис. 22. Конструкція фундаменту.

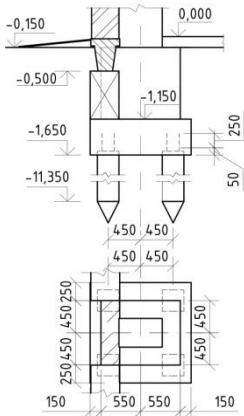


Рис. 23. Конструкція фундаменту.

$$N = G_{nl} + \frac{N_I + G_{pl}}{n} = 26,5 + \frac{999,5 + 64,9}{3} = ,$$

$$= 381,3 \text{ kH} < P = 461,2 \text{ kH}$$

$$\text{де } G_{nl}=0,3\cdot0,3\cdot10,7\cdot25\cdot1,1=26,5 \text{ kH};$$

$$G_{pl}=V_p \gamma_p \gamma_f + V_{zp} \gamma_{zp} \gamma_f = 1,965 \cdot 25 \cdot 1,1 + 0,575 \cdot 16,4 \cdot 1,15 = 64,9 \text{ kH};$$

$$V_p = 1,4 \cdot 1,4 \cdot 0,5 - 0,9 \cdot 0,3 / 2 \cdot 2 \cdot 0,5 + 0,9 \cdot 1,1 \cdot 1,0 + 0,25 \cdot 0,4 \cdot 0,65 \cdot 2 = 1,965 \text{ m}^3;$$

$$V_{zp} = V_\phi - V_p = 2,54 - 1,965 = 0,575 \text{ m}^3;$$

$$V_\phi = (1,4 \cdot 1,4 - 0,9 \cdot 0,3 / 2 \cdot 2) \cdot 1,5 = 2,54 \text{ m}^3.$$

Умова виконується. Перевіряємо виконання *другої* умови виразу (31). Допускаємо перевантаження крайніх паль в кущі на 20% від навантаження, допустимого на них (в розрахунках фундаментів враховані вітрові та кранові навантаження, при цьому величина кранових навантажень становить більше 30% сумарних навантажень на фундамент)

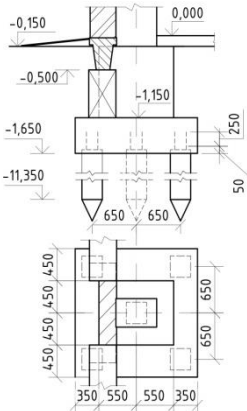


Рис. 24. Конструкція фундаменту.

$$\begin{aligned}
 N_{\max} &= G_{nI} + \frac{N_I + G_{pI}}{n} + \frac{(M_I + Q_I h)x_{\max}}{\sum x_i^2} = \\
 &= 26,5 + \frac{999,5 + 64,9}{3} + \\
 &+ \frac{(1072,57 + 75,11 \cdot 1,5)0,45}{3 \cdot 0,45^2} = 1259,3 \kappa H > \\
 &> 1,2P = 553,4 \kappa H
 \end{aligned}$$

Умова не виконується. Збільшуємо кількість паль до чотирьох, розставляємо їх в ростверку, конструюємо його (рис. 23) і знову перевіряємо виконання цієї умови

$$N_{\max} = 26,5 + \frac{999,5 + 73,59}{4} + \frac{(1072,57 - 75,11 \cdot 1,5)0,45}{4 \cdot 0,45^2} = ,$$

$$953,2 \kappa H > 1,2P = 533,4 \kappa H$$

де $G_{pI} = V_p \cdot \gamma_p \cdot \gamma_f + V_{ep} \cdot \gamma_{ep} \cdot \gamma_f = 2,1 \cdot 25 \cdot 1,1 + 0,84 \cdot 16,4 \cdot 1,15 = 73,59 \kappa H$;

$$V_p = 1,4 \cdot 1,4 \cdot 0,5 + 0,9 \cdot 1,1 \cdot 1,0 + 0,25 \cdot 0,4 \cdot 0,65 \cdot 2 = 2,1 \text{ m}^3;$$

$$V_{ep} = V_\phi - V_p = 2,94 - 2,1 = 0,84 \text{ m}^3;$$

$$V_\phi = 1,4 \cdot 1,4 \cdot 1,5 = 2,94 \text{ m}^3.$$

Умова не виконується. Збільшуємо кількість паль до п'яти, розставляємо їх в ростверку, конструюємо його (рис. 24) і знову перевіряємо виконання цієї умови

$$N_{\max} = 26,5 + \frac{999,5 + 111,37}{5} + \\ + \frac{(1072,57 + 75,11 \cdot 1,5)0,65}{4 \cdot 0,65^2} = 704,5 \kappa H > \text{де } G_{pl} = V_p \cdot \gamma_p \gamma_f + V_{ep} \cdot \gamma_{ep}$$

$$> 1,2P = 533,4 \kappa H$$

$$\gamma_f = 2,74 \cdot 25 \cdot 1,1 + 1,91 \cdot 16,4 \cdot 1,15 = 111,37 \text{ кН};$$

$$V_p = 1,8 \cdot 1,9 \cdot 0,5 + 0,9 \cdot 1,1 \cdot 1,0 + 0,25 \cdot 0,4 \cdot 0,65 \cdot 2 = 2,74 \text{ м}^3;$$

$$V_{ep} = V_\phi - V_p = 4,65 - 2,74 = 1,91 \text{ м}^3;$$

$$V_\phi = 1,8 \cdot 1,8 \cdot 1,5 = 4,65 \text{ м}^3.$$

Умова не виконується. Збільшуємо кількість паль до шести, розставляємо їх в ростверку, конструкуюємо його (рис. 25) і знову перевіряємо виконання цієї умови

$$N_{\max} = 26,5 + \frac{999,5 + 114,68}{6} + \\ + \frac{(1072,57 + 75,11 \cdot 1,5)0,9}{4 \cdot 0,9^2} = 541,4 \kappa H >,$$

$$> 1,2P = 533,4 \kappa H$$

$$\text{де } G_{pl} = V_p \cdot \gamma_p \gamma_f + V_{ep} \cdot \gamma_{ep} \gamma_f = 2,73 \cdot 25 \cdot 1,1 + 2,1 \cdot 16,4 \cdot 1,15 = 114,69 \text{ кН};$$

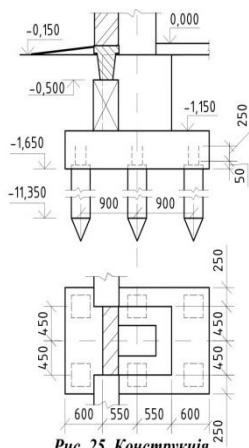


Рис. 25. Конструкція фундаменту.

$$V_p = 2,3 \cdot 1,4 \cdot 0,5 + 0,9 \cdot 1,1 \cdot 1,0 + 0,25 \cdot 0,4 \cdot 0,65 \cdot 2 = 2,73 \text{ м}^3;$$

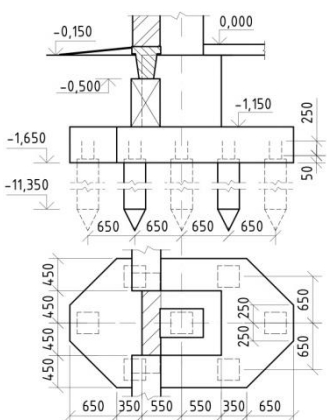


Рис. 26. Конструкція фундаменту.

$$V_{ep} = V_{\phi} - V_p = 4,83 - 2,73 = 2,1 \text{ м}^3; \\ V_{\phi} = 2,3 \cdot 1,4 \cdot 1,5 = 4,83 \text{ м}^3.$$

Умова не виконується. Збільшуємо кількість паль до семи, розставляємо їх в ростверку, конструкуюмо його (рис. 26) і знову перевіряємо виконання цієї умови

$$N_{\max} = 26,5 + \frac{999,5 + 139,66}{7} + \\ + \frac{(1072,57 + 75,11 \cdot 1,5)1,3}{4 \cdot 0,65^2 + 2 \cdot 1,3^2} = 493,2 \kappa H <, \\ < 1,2P = 533,4 \kappa H$$

де $G_{pl} = V_p \cdot \gamma_p \cdot \gamma_f + V_{ep} \cdot \gamma_{ep} \cdot \gamma_f = 3,11 \cdot 25 \cdot 1,1 + 2,87 \cdot 16,4 \cdot 1,15 = 139,66 \text{ кН}$;

$$V_p = (1,8 \cdot 1,8 + (1,8 + 0,5)/2 \cdot 0,65) \cdot 0,5 + 0,9 \cdot 1,1 \cdot 1,0 + 0,25 \cdot 0,4 \cdot 0,65 \cdot 2 = 3,1 \text{ м}^3;$$

$$V_{ep} = V_{\phi} - V_p = 5,98 - 3,11 = 2,87 \text{ м}^3;$$

$$V_{\phi} = (1,8 \cdot 1,8 + (1,8 + 0,5)/2 \cdot 0,65) \cdot 1,5 = 5,98 \text{ м}^3.$$

Умова виконується. Перевіряємо виконання третьої умови виразу (5)

$$N_{\min} = G_{nl} + \frac{N_I + G_{pl}}{n} + \frac{(M_I + Q_I h)x_{\max}}{\sum x_i^2} = 26,5 + \frac{999,5 + 139,66}{7} - \\ - \frac{(1072,57 + 75,11 \cdot 1,5)1,3}{4 \cdot 0,65^2 + 2 \cdot 1,3^2} = -114,7 \kappa H < 0$$

Умова не виконується. Отже, потрібно проводити розрахунок на "висмикування".

Несуча здатність паль на дію висмикуючих навантажень F_{du} визначаємо за формулою (35). Допоміжні розрахунки з визначення граничного опору ґрунту на бічній поверхні палі виконуємо у табличній формі (див. табл. 17).

$$F_{du} = \gamma_c u \sum \gamma_{cf_i} f_i h_i = 1,0 \cdot 1,2 \cdot 650,49 = 780,6 \text{ кН}$$

Навантаження P , допустиме на палю, виходячи з її несучої здатності по ґрунту, обчислюємо за формулою (32)

$$P = \frac{F_d}{\gamma_k} = \frac{780,6}{1,4} = 557,6 \text{ кН},$$

де $\gamma_k = 1,4$ (несуча здатність палі визначали розрахунком за формулами ДБН).

Оскільки висмікуюче навантаження $N_{min} = 114,7 \text{ кН}$ менше допустимого на палю $P = 557,6 \text{ кН}$, то умова забезпечена. Остаточно приймаємо 7 паль **ПН110.30.**

2.5. Підбір дизель-молота

Приклад 8. Підібрать дизель-молот для заглиблення палі, несуча здатність якої становить 1302,9 кН (див. приклад 6).

Визначаємо мінімальну енергію удару \mathcal{E} за формулою:

$$\mathcal{E} = 1,75 \text{ а } F = 1,75 \cdot 25 \cdot 1302,9 = 57001,9 \text{ Дж} = 57,0 \text{ кДж.}$$

$F = 1302,9 \text{ кН}$ – несуча здатність палі,

$\alpha = 25 \text{ Дж/кН}$ – безрозмірний коефіцієнт.

Приймаємо трубчатий дизель-молот С974 (див. табл. 27 енергія удару 76 кДж), енергія удару якого більша мінімальної.

Перевіряємо придатність прийнятого молота за умовою:

$$(G_h + G_b) / \mathcal{E}_p \leq k_m, \quad (41)$$

де $k_m = 6$ – безрозмірний коефіцієнт;

$G_h = 10,1 \text{ кН}$ – повна вага молота (див. табл. 27);

$G_h = 24,75 + 1,25 + 0,15 = 26,15 \text{ кН}$ – вага палі, наголовника і підбабка;
 $G_n = 0,3 \cdot 0,3 \cdot 11 \cdot 25 = 24,75 \text{ кН}$ – вага палі;

$G_n = 1,25 \text{ кН}$ – вага наголовника; $G_{n\delta} = 0,15 \text{ кН}$ – вага підбабка.

\mathcal{E}_p – розрахункова енергія удару;

$$\mathcal{E}_p = 0,9 G_p' h_m, \quad (42)$$

де $G_p' = 5,0 \text{ кН}$ – вага ударної частини молота (див. табл. 27);

$h_m = 1,8 \text{ м}$ – фактична висота падіння ударної частини (див. табл. 9).

$$\mathcal{E}_p = 0,9 \cdot 1,8 \cdot 5,0 = 8,1 \text{ кДж.}$$

Підставляємо отримані значення у формулу (41)

$$(10,1 + 26,15) / 8,1 = 4,35 < 6.$$

Умова виконується. Отже, обраний дизель-молот для занурення палі придатний.

Таблиця 20

Плити залізобетонні стрічкових фундаментів (витяг з ДСТУ Б В.2.6-109:2010)

Марка плити	Основні розміри плити, мм				Витрата матеріалів		Маса плити, т
	<i>b</i>	<i>l</i>	<i>h</i>	<i>a</i>	Бетон, м ³	Сталь, кг	
ФЛ6.24-4	600	2380	300	---	0,37	1,84	0,93
ФЛ6.12-4		1180			0,18	0,91	0,45
ФЛ8.24-1	800	2380		150	2,50		
ФЛ8.24-3					0,46	3,42	1,15
ФЛ8.24-4						4,81	
ФЛ8.12-1		1180				1,24	
ФЛ8.12-3			300	0,22		1,70	0,55
ФЛ8.12-4						2,39	
ФЛ10.30-1	1000	2980				4,71	
ФЛ10.30-2						6,67	
ФЛ10.30-3						9,04	1,75
ФЛ10.30-4						11,03	
ФЛ10.24-1	1000	2380	250	0,55		3,76	
ФЛ10.24-2						5,34	
ФЛ10.24-3						7,16	1,38
ФЛ10.24-4						8,82	
ФЛ10.12-1	1000	1180		0,26		1,87	
ФЛ10.12-2						2,66	
ФЛ10.12-3						3,41	0,65
ФЛ10.12-4						4,40	
ФЛ10.8-1		780		0,17		1,24	
ФЛ10.8-2						1,76	
ФЛ10.8-3						2,26	
ФЛ10.8-4						2,92	0,42

Продовження табл.20

ФЛ12.30-1	1200	2980	350	0,82	7,88	2,05	
ФЛ12.30-2					12,76		
ФЛ12.30-3					17,46		
ФЛ12.30-4					21,43		
ФЛ12.24-1	2380	1180		0,65	6,30	1,63	
ФЛ12.24-2					10,20		
ФЛ12.24-3					13,83		
ФЛ12.24-4					17,13		
ФЛ12.12-1					3,13		
ФЛ12.12-2	780	2980		0,31	5,09	0,78	
ФЛ12.12-3					6,57		
ФЛ12.12-4					8,55		
ФЛ12.8-1					2,08		
ФЛ12.8-2	1400	2380		0,20	3,38	0,50	
ФЛ12.8-3					4,37		
ФЛ12.8-4					5,69		
ФЛ14.30-1				0,96	12,43	2,40	
ФЛ14.30-2					19,09		
ФЛ14.30-3					23,46		
ФЛ14.30-4					34,65		
ФЛ14.24-1	1180	400	0,76	9,85			
ФЛ14.24-2				15,12			
ФЛ14.24-3				18,76			
ФЛ14.24-4				27,72			
ФЛ14.12-1				4,68	0,91		
ФЛ14.12-2	2980	0,36	0,36	7,18			
ФЛ14.12-3				9,37			
ФЛ14.12-4				13,84			

Продовження табл.20

ФЛ14.8-1	1600	780		0,23	3,11	0,58	
ФЛ14.8-2					4,78		
ФЛ14.8-3					6,23		
ФЛ14.8-4					9,22		
ФЛ16.30-1					15,82		
ФЛ16.30-2	2000	2980		1,09	26,42	2,71	
ФЛ16.30-3					37,32		
ФЛ16.30-4					46,11		
ФЛ16.24-1		2380			12,55	2,15	
ФЛ16.24-2					21,13		
ФЛ16.24-3	1600			0,86	29,85		
ФЛ16.24-4					36,57		
ФЛ16.12-1	1180				6,02	1,03	
ФЛ16.12-2					10,55		
ФЛ16.12-3					14,90		
ФЛ16.12-4					17,51		
ФЛ16.8-1	2000	780		0,26	3,84	0,65	
ФЛ16.8-2					7,02		
ФЛ16.8-3					9,93		
ФЛ16.8-4					11,15		
ФЛ20.30-1		2980		2,04	15,60	5,10	
ФЛ20.30-2					25,16		
ФЛ20.30-3					36,85		
ФЛ20.30-4					50,04		
ФЛ20.24-1		2380		1,62	12,47	4,05	
ФЛ20.24-2					20,12		
ФЛ20.24-3					29,48		
ФЛ20.24-4					39,99		

Продовження табл.20

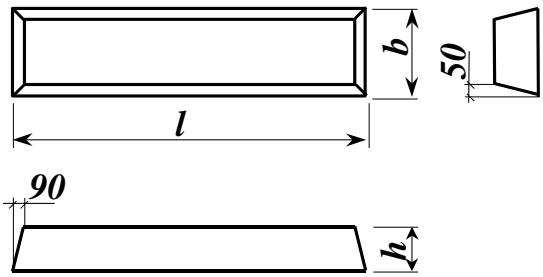
ФЛ20.12-1	2000	1180	700	0,78	6,19	1,95	
ФЛ20.12-2					10,02		
ФЛ20.12-3					14,69		
ФЛ20.12-4					19,95		
ФЛ20.8-1		780		0,50	4,04	1,25	
ФЛ20.8-2					6,57		
ФЛ12.8-3					9,70		
ФЛ12.8-4					13,00		
ФЛ24.30-1	2400	2980	500	2,39	27,44	5,98	
ФЛ24.30-2					43,86		
ФЛ24.30-3					67,09		
ФЛ24.30-4					73,40		
ФЛ24.24-1		2380		1,90	21,80	4,75	
ФЛ24.24-2					34,97		
ФЛ24.24-3					53,48		
ФЛ24.24-4					58,70		
ФЛ24.12-1	2400	1180	900	0,91	10,69	2,30	
ФЛ24.12-2					17,44		
ФЛ24.12-3					26,27		
ФЛ24.12-4					29,31		
ФЛ24.8-1		780		0,58	7,10	1,45	
ФЛ24.8-2					11,52		
ФЛ24.8-3					17,62		
ФЛ24.8-4					19,51		
ФЛ28.24-1	2800	2380		2,36	32,01	5,90	
ФЛ28.24-2					50,37		
ФЛ28.24-3					79,86		
ФЛ28.24-4					97,06		

Продовження табл.20

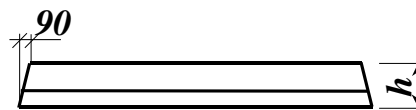
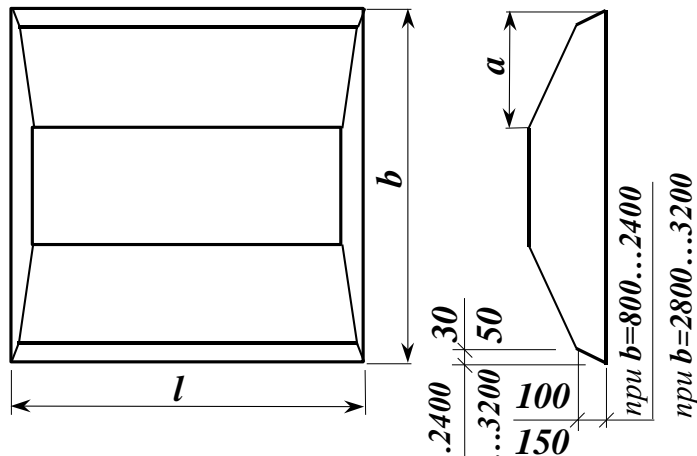
ФЛ28.12-1		1180		1,13	15,03	2,82
ФЛ28.12-2					24,80	
ФЛ28.12-3					39,12	
ФЛ28.12-4					47,02	
ФЛ28.8-1		780		0,72	10,30	1,80
ФЛ28.8-2					16,72	
ФЛ28.8-3					26,05	
ФЛ28.8-4					31,33	
ФЛ32.12-1		1180		1,29	23,24	3,23
ФЛ32.12-2					37,41	
ФЛ32.12-3					53,03	
ФЛ32.12-1		780		0,82	15,76	2,05
ФЛ32.12-2					24,89	
ФЛ32.12-3					35,81	

Марка плити складається з букв **ФЛ** (фундамент ленточний) і цифр, які визначають її ширину і довжину, групу за несучою здатністю (**1, 2, 3, 4** – армування плити розраховано на середній тиск під її підошвою відповідно до **150 мПа, 250 мПа, 350 мПа, 450 мПа**). Для плит, які експлуатуються в умовах агресивного середовища включають показник проникності бетону (**H, П, О** – відповідно нормальної, пониженої і особливо низької проникності).

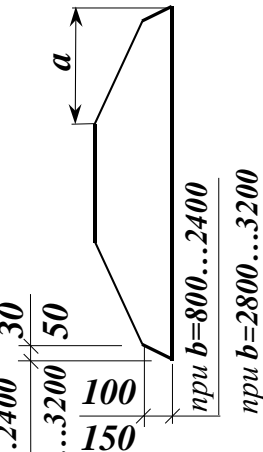
Наприклад, фундаментна плита шириною **1600 мм**, довжиною **2380 мм**, розрахована на середній тиск під її підошвою відповідно до **250 мПа**, з бетону пониженої проникності має марку: **ФЛ16.24-2-П.**



Плити шириною $b=600$ мм



Плити шириною $b=800...3200$ мм



npu $b=800...2400$

npu $b=2800...3200$

Таблиця 21

Блоки бетонні для стін підвальних (вигляг з ДСТУ Б В.2.6-108:2010)

Марка блока	Основні розміри блока, мм			Витрата матеріалів		Маса блока, т
	довжина l	ширина b	висота h	бетон, м ³	сталь, кг	
ФБС24.3.6-Т	2380	300	580	0,406	1,46	0,97
ФБС24.4.6-Т		400		0,543		1,30
ФБС24.5.6-Т		500		0,679		1,63
ФБС24.6.6-Т		600		0,815		1,96
ФБС12.4.6-Т	1180	400	280	0,265		0,64
ФБС12.5.6-Т		500		0,331	1,46	0,79
ФБС12.6.6-Т		600		0,398		0,96
ФБС12.4.3-Т		400	580	0,127		0,31
ФБС12.5.3-Т		500		0,159	0,74	0,38
ФБС12.6.3-Т		600		0,191		0,46
ФБС9.3.6-Т	880	300	580	0,146		0,35
ФБС9.4.6-Т		400		0,195	0,76	0,47
ФБС9.5.6-Т		500		0,244		0,59
ФБС9.6.6-Т		600		0,293	1,46	0,70
ФБВ9.4.6-Т		400	280	0,161		0,39
ФБВ9.5.6-Т		500		0,202	0,76	0,49
ФБВ9.6.6-Т		600		0,243		0,58
ФБП24.4.6-Т	2380	400	580	0,439		1,05
ФБП24.5.6-Т		500		0,526	1,46	1,26
ФБП24.6.6-Т		600		0,583		1,40
ФБС24.3.6-П	2380	300	580	0,406		0,73
ФБС24.4.6-П		400		0,543	1,46	0,98
ФБС24.5.6-П		500		0,679		1,22
ФБС24.6.6-П		600		0,815	2,36	1,47

Продовження табл.21

ФБС12.4.6-II	1180	400		0,265	0,76	0,48
ФБС12.5.6-II		500		0,331	1,46	0,60
ФБС12.6.6-II		600		0,398		0,72
ФБС12.4.3-II		400		0,127		0,23
ФБС12.5.3-II	880	500	380	0,159	0,74	0,29
ФБС12.6.3-II		600		0,191		0,35
ФБС9.3.6-II		300		0,146		0,26
ФБС9.4.6-II		400		0,195		0,35
ФБС9.5.6-II		500	0,244		0,44	
ФБС9.6.6-II		600	0,293	0,76	0,53	
ФБВ9.4.6-II	2380	400	580	0,161		0,29
ФБВ9.5.6-II		500		0,202		0,37
ФБВ9.6.6-II		600		0,243		0,44
ФБП124.4.6-II		400		0,439		0,79
ФБП124.5.6-II		500		0,526	1,46	0,95
ФБП124.6.6-II		600		0,583		1,05
ФБС24.3.6-C	2380	300	580	0,406		0,81
ФБС24.4.6-C		400		0,543	1,46	1,09
ФБС24.5.6-II		500		0,679		1,36
ФБС24.6.6-C		600		0,815	2,36	1,63
ФБС12.4.6-C	1180	400		0,265	0,76	0,53
ФБС12.5.6-C		500		0,331		0,66
ФБС12.6.6-C		600		0,398	1,46	0,80
ФБС12.4.3-C		400		0,127		0,25
ФБС12.5.3-C		500	380	0,159	0,74	0,32
ФБС12.6.3-C		600		0,191		0,38

Продовження табл.21

ФБС9.3.6-С	880	300	580	0,146	0,76	0,29
ФБС9.4.6-С		400		0,195		0,39
ФБС9.5.6-С		500		0,244		0,49
ФБС9.6.6-С		600		0,293		0,59
ФБВ9.4.6-С		400		0,161		0,32
ФБВ9.5.6-С		500		0,202		0,40
ФБВ9.6.6-С		600		0,243		0,49
ФБП24.4.6-С	2380	400		0,439	1,46	0,88
ФБП24.5.6-С		500		0,526		1,05
ФБП24.6.6-С		600		0,583		1,17

Марка фундаментного блока складається з буквених і цифрових індексів: перші букви (**ФБ**) означають вид конструкції – фундаментний блок; третя (**С, В, П**) вказують на тип блока (**С** – суцільний; **В** – суцільний з вирізом для укладки перемичок і пропуска комунікацій; **П** – пустотілий з відкритими вниз пустотами); перша цифра означає довжину (округлено); друга – ширину; третя – висоту (округлено); остання буква вказує на вид бетону, з якого виготовлено блок. Наприклад, суцільний фундаментний блок довжиною **2380 мм**, шириною **400 мм**, висотою **580 мм**, виготовлений з важкого бетону має марку: **ФБС24.4.6-Т**.

Таблиця 22

Уніфіковані розміри підколонників для фундаментів по серіях 1.412-1/77, 1.412-2/77

Вид пере- різу	Розміри пе- рерізу ко- лони, мм		Розміри стакана, мм			Об'єм ста- кана, м ³	
	тип	розміри перерізу, мм	глибина	в плані			
				по низу	по верху		
прямокутний	А	900×900	700	400×400	450×450		
			700	500×500	550×550		
			800	500×500	550×550		
			800	500×600	550×650		
	Б	1200×1200		600×600	650×650		
				500×700	550×750		
				600×700	650×750		
				500×800	550×850		
дволіжковий	В	1200×1500		500×900	550×950		
				600×900	650×950		
				500×1100	550×1150		
	Г	1200×1800		600×1100	650×1150		
				600×1400	650×1450		
	Д	1200×2100		600×1500	650×1550		
				700×1500	750×1550		

Таблиця 23

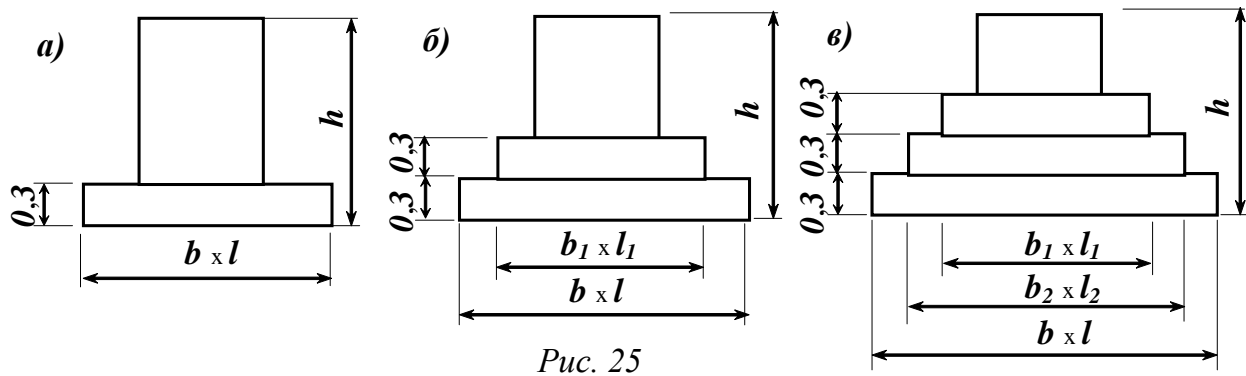
Характеристика типових монолітних фундаментів під колони прямокутного перерізу (серія 1.412-1/77)

Ескіз	Марка фундамента	Розміри плитної частини, мм						Витрата бетону, м ³ при висоті фундаменту, мм					
		підошва		перша ступінь		друга ступінь		1500	1800	2400	3000	3600	4200
		a	b	a ₁	b ₁	a ₂	b ₂	Ф...-1	Ф...-2	Ф-3	Ф...-4	Ф...-5	Ф...-6
Рис. 25, а	ФА1- <i>n</i>	1500	1500	---	---	---	---	1,6	1,9	2,4	2,9	3,4	3,9
	ФА2- <i>n</i>	1800	1800	---	---	---	---	2,0	2,2	2,7	3,2	3,6	4,1
Рис. 25, б	ФА4- <i>n</i>	2100	1800	1500	900	---	---	2,3	2,5	3,0	3,5	4,0	4,5
	ФА5- <i>n</i>	2400	1800	1500	900	---	---	2,4	2,7	3,2	3,6	4,1	4,6
	ФА6- <i>n</i>	2400	2100	1500	1500	---	---	2,9	3,2	3,6	4,1	4,6	5,1
	ФА7- <i>n</i>	2700	2100	1800	1500	---	---	3,2	3,5	4,0	4,5	4,9	5,4
	ФА8- <i>n</i>	2700	2400	1800	1500	---	---	3,5	3,7	4,2	4,7	5,2	5,7
	ФА9- <i>n</i>	3000	2400	2100	1500	---	---	3,8	4,1	4,6	5,0	5,5	6,0
Рис. 25, в	ФА10- <i>n</i>	3300	2700	2400	1800	1500	900	4,9	5,1	5,6	6,1	6,6	7,1
	ФА11- <i>n</i>	3600	3000	2700	1800	1800	900	5,7	5,9	6,4	6,9	7,4	7,9
	ФА12- <i>n</i>	4200	3000	3000	1800	1800	900	6,4	6,6	7,1	7,6	8,1	8,6
Рис. 25, г	ФБ2- <i>n</i>	1800	1800	---	---	---	---	2,7	3,1	4,0	4,9	5,7	6,6
Рис. 25, б	ФБ4- <i>n</i>	2100	1800	1500	1800	---	---	3,0	3,4	4,3	5,1	6,0	6,9
	ФБ5- <i>n</i>	2400	1800	1800	1200	---	---	3,3	3,7	4,5	5,4	6,3	7,1
	ФБ6- <i>n</i>	2400	2100	1800	1200	---	---	3,5	3,9	4,8	5,6	6,5	7,3
	ФБ7- <i>n</i>	2700	2100	1800	1200	---	---	3,7	4,1	4,9	5,8	6,7	7,5
	ФБ8- <i>n</i>	2700	2400	1800	1200	---	---	4,2	4,6	5,5	6,4	7,2	8,1
	ФБ9- <i>n</i>	3000	2400	2100	1800	---	---	4,6	5,0	5,9	6,8	7,6	8,5

Продовження табл.23

Рис. 25, в	ФА10- <i>n</i>	3300	2700	2400	1800	1800	1200	5,5	5,9	6,8	7,6	8,5	9,4
	ФА11- <i>n</i>	3600	3000	2700	2100	1800	1200	6,5	6,9	7,8	8,6	9,5	10,3
	ФА12- <i>n</i>	4200	3000	3000	2100	1800	1200	7,2	7,6	8,5	9,3	10,2	11,1
	ФА13- <i>n</i>	4200	3600	3000	2700	1800	1800	8,8	9,2	10,1	11,0	11,8	12,7
	ФА14- <i>n</i>	4800	3600	3600	2700	2400	1800	10,3	10,7	11,6	12,4	13,3	14,2
	ФА15- <i>n</i>	4800	4200	3600	3000	2400	1800	11,5	11,9	12,8	13,6	14,5	15,4
	ФА16- <i>n</i>	5400	4200	4200	3000	3000	1800	13,1	13,5	14,4	15,2	16,1	17,0
Рис. 25, а	ФВ4- <i>n</i>	2100	1800	---	---	---	---	3,3	3,8	4,9	6,0	7,1	8,2
Рис. 25, б	ФВ5- <i>n</i>	2400	1800	1800	1200	---	---	3,6	4,1	5,2	6,3	7,4	8,4
	ФВ6- <i>n</i>	2400	2100	1800	1200	---	---	3,8	4,3	5,4	6,5	7,6	8,6
	ФВ7- <i>n</i>	2700	2100	2100	1200	---	---	4,1	4,6	5,7	6,8	7,9	8,9
	ФВ8- <i>n</i>	2700	2400	2100	1800	---	---	4,7	5,2	6,3	7,4	8,5	9,6
	ФВ9- <i>n</i>	3000	2400	2100	1800	---	---	4,9	5,4	6,5	7,6	8,7	9,8
Рис. 25, в	ФВ10- <i>n</i>	3000	2700	2700	1800	2100	1200	6,0	6,5	7,6	8,7	9,7	10,8
	ФВ11- <i>n</i>	3600	3000	2700	2100	2100	1200	6,8	7,3	8,4	9,5	10,6	11,6
	ФВ12- <i>n</i>	4200	3000	3300	2100	2400	1200	7,8	8,3	9,4	10,5	11,6	12,7
	ФВ13- <i>n</i>	4200	3600	3300	2400	2400	1800	9,3	9,8	10,9	12,0	13,1	14,2
	ФВ14- <i>n</i>	4800	3600	3600	2400	2400	1800	10,2	10,7	11,8	12,9	13,9	15,0
	ФВ15- <i>n</i>	4800	4200	3600	3000	2400	1800	11,7	12,2	13,3	14,4	15,4	16,5
	ФВ16- <i>n</i>	5400	4200	4200	3000	3000	1800	13,3	13,8	14,9	16,0	17,1	18,1
	ФВ17- <i>n</i>	5400	4800	4200	3600	3000	2400	15,6	16,1	17,2	18,3	19,3	20,4

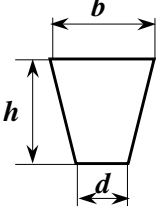
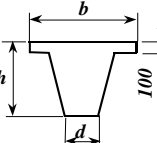
Марка фундамента складається з буквених і цифрових індексів: перша буква (**Ф**) означає вид конструкції – фундамент; друга (**А, Б, В, Д**) вказує на тип підколонника (табл. 9); перша цифра вказує на типорозмір підошви а друга – типорозмір фундамента по висоті (табл.10) Наприклад, двоступінчастий фундамент шириною **2100 мм**, довжиною **1800 мм**, висотою **1500 мм** має марку: **ФА7-2**.



Puc. 25

Таблиця 24

Фундаментні балки (витяг з Серії 1.415)

Ескіз	Марка випо- віду	Розміри, мм				Маса випо- віду, т
		<i>l</i>	<i>b</i>	<i>d</i>	<i>h</i>	
	ФБ6-1	5950	260	200	450	1,60
	ФБ6-2	5050	260	200	450	1,30
	ФБ6-3	4750	260	200	450	1,20
	ФБ6-4	4450	260	200	450	1,20
	ФБ6-5	4300	260	200	450	1,10
	ФБ6-6	5950	260	200	450	1,60
	ФБ6-7	5050	260	200	450	1,30
	ФБ6-8	4750	260	200	450	1,20
	ФБ6-9	4450	260	200	450	1,20
	ФБ6-10	4300	260	200	450	1,10
	ФБ6-11	5950	400	200	450	1,80
	ФБ6-12	5050	400	200	450	1,50
	ФБ6-13	4750	400	200	450	1,40
	ФБ6-14	4450	400	200	450	1,30
	ФБ6-15	4300	400	200	450	1,30
	ФБ6-16	5950	400	200	450	1,80
	ФБ6-17	5050	400	200	450	1,50
	ФБ6-18	4750	400	200	450	1,80
	ФБ6-19	5050	400	200	450	1,50
	ФБ6-20	4750	400	200	450	1,40
	ФБ6-21	4450	400	200	450	1,30
	ФБ6-22	4300	400	200	450	1,30
	ФБ6-23	5950	400	200	450	1,80
	ФБ6-24	5050	400	200	450	1,50
	ФБ6-25	4750	400	200	450	1,40
	ФБ6-26	4450	400	200	450	1,30
	ФБ6-27	4300	400	200	450	1,30
	ФБ6-28	5950	520	250	450	2,20
	ФБ6-29	5050	520	250	450	1,90
	ФБ6-30	4750	520	250	450	1,80
	ФБ6-31	4450	520	250	450	1,70
	ФБ6-32	4300	520	250	450	1,60
	ФБ6-33	5950	520	250	450	2,20
	ФБ6-34	5050	520	250	450	1,90
	ФБ6-35	4750	520	250	450	2,20
	ФБ6-36	5050	520	250	450	1,90
	ФБ6-37	4750	520	250	450	1,80
	ФБ6-38	4450	520	250	450	1,70
	ФБ6-39	4300	520	250	450	1,60

Марка фундаментної балки складається з букв ФБ (фундаментна балка) і цифр, які визначають номінальну довжину балки і номер типорозміру. Наприклад, фундаментна балка довжиною 5050 мм, шириною по верху 400 мм, висотою 450 мм має марку: ФБ6.12.

Таблиця 25

Марки і номінальні розміри паль типу ПН

Марка палі	Номінальні розміри, мм					Об'єм бетону, м ³	Маса палі, т	Витрати сталі, кг
	L	l	l ₁	l ₂	b			
ПНдр30.30	3000	250	600	-	-	0,28	0,70	10,7
ПНдр35.30	3500		700			0,33	0,83	11,2
ПНдр40.30	4000		800			0,37	0,93	11,8
ПНдр45.30	4500		900			0,42	1,05	12,4
ПНдр50.30	5000		1000			0,46	1,15	12,9
ПНдр55.30	5500		1100	-	-	0,51	1,28	13,5
ПНдр60.30	6000		1200			0,55	1,38	14,2
ПНдр70.30	7000		1400			0,64	1,60	16,5
ПНдр80.30	8000		1600	2400	300	0,73	1,83	17,6
ПН90.30	9000		1800	2600		0,82	2,05	36,0 24,6
ПНдр90.30	10000		2100	2900		0,91	2,28	39,6 27,0
ПН100.30	11000	250	2300	3200	300	1,00	2,50	42,7 28,8 33,0
ПНдр110.30	12000		2500	3500		1,09	2,73	45,7 38,1 35,2
ПН120.30	13000		2700	3800		1,18	2,95	51,4 43,2 40,0
ПНдр130.30	14000	250	2900	4100	350	1,27	3,18	55,6 55,2 43,3
ПН140.30	15000		3100	4400		1,36	3,40	75,4 68,2 64,8
ПНдр80.35	8000	300	1600	2400		1,00	2,50	20,0
ПНдр90.35	9000		1800	2600		1,12	2,80	27,1
ПН100.35	10000		2100	2900		1,24	3,10	42,6 29,9 33,8
ПНдр100.35	11000		2300	3200		1,37	3,43	45,6 31,6 35,9
ПН110.35	12000		2500	3500		1,49	3,73	48,9 41,2 38,3
ПНдр110.35	13000		2700	3800		1,61	4,03	56,2 48,0 44,8
ПН120.35	14000		2900	4100		1,73	4,33	75,2

Продовження табл.25

ПНдр140.35							59,6
ПНк140.35							47,4
ПН150.35							79,6
ПНдр150.35							72,4
ПНк150.35							69,0
ПН160.35							105,0
ПНк160.35							99,0
ПН170.35							137,7
ПНк170.35							105,7
ПН180.35							144,9
ПНк180.35							133,9
ПН190.35							152,2
ПНк190.35							202,7
ПН200.35							193,5
ПНк20-35							212,5
ПН130.40							76,2
ПНдр130.40							53,5
ПНк130.40							50,3
ПН140.40							80,9
ПНдр140.40							65,3
ПНк140.40							53,0
ПН150.40							105,2
ПНдр150.40							78,3
ПНк150.40							74,8
ПН160.40							112,6
ПНк160.40							106,6
ПН170.40							144,2
ПНк170.40							112,2
ПН180.40							151,6
ПНк180.40							140,6
ПН190.40							194,1
ПНк190.40							212,3
ПН200.40							203,3
ПНК200.40							222,3
Примітка. Витрати сталі на одну палю наведені за умови армування дротом класу В-І.							

Таблиця 26

Технічні характеристики штангових дизель-молотів

Показник	Дизель-молоти з охолодженням							
	рухомим				нерухомим			
	ДБ-45	ДМ-58	ДМ-150	ДМ-150а	C-222	C-268	C-330	C-330А
Маса, кг <i>ударної частини</i>	140	180	190	240	1200	1800	2500	2500
<i>молота загальна</i>	260	315	340	350	2300	3100	4200	4500
Енергія удару, кДж	1,0	1,5	1,5	2,00	---	---	---	---
Число ударів за хв	100	110	100	65	55	55	50	50
Найбільша висота підняття ударної частини, мм	1000	100	1000	1250	1790	2100	2600	2500
Габарити, мм <i>довжина</i>	500	550	620	650	850	900	870	870
<i>ширина</i>	360	400	450	450	800	820	980	1000
<i>висота</i>	1715	1940	1970	1980	3360	3820	4540	4760
Розмір перерізу чи діаметр заглиблюваної палі, см	20*	22*	22*	22*	30**	30**	30**	30**

* - дерев'яні палі; ** - залізобетонні палі. Для штангових дизель-молотів розрахункова енергія удару визначається за формулою $\mathcal{E}_p = 0,4 G'_p h_m$.

Таблиця 27

Технічні характеристики трубчатих дизель-молотів

Показник	Дизель-молоти з охолодженням								
	водяним					повітряним			
	C-994	C-995	C-996	C-1047	C-1048	C-859	C-949	C-954	C-974
Маса ударної частини, кг	600	1250	1800	2500	3500	1800	2500	3500	5000
Висота підскоку ударної частини, мм <i>найбільша</i>	2800	2800	2800	2800	2800	2800	2800	2800	2800
<i>найменша</i>	2000±200	2000±200	2000±200	2000±200	2000±200	2000±200	2000±200	2000±200	2000±200
Енергія удару при висоті підскоку 2500мм, кДж	9,0	19,0	27,0	37,0	52,0	27,0	38,0	52,0	76,0
Число ударів за хв	44	44	44	44	44	44	44	44	44
Маса молота з кішкою, кг	1500	2600	3550	5500	7650	3500	5000	7500	10100
Габарити, мм <i>довжина</i>	640	720	765	840	800	700	720	890	---
<i>ширина</i>	470	520	600	950	1000	790	---	1000	---
<i>висота</i>	3825	3955	4335	4970	5150	4190	4970	5080	5520

Для трубчатих дизель-молотів розрахункова енергія удару визначається за формулою $\mathcal{E}_p = 0,9 G'_p h_m$.